



## شیمی کانی و زمین دما-فشارسنگی سنگ‌های رسی دگرگون شده مجموعه دگرگونی گیسور، گناباد

عبدالصمد پورمحمد<sup>۱</sup>، احمد احمدی خلجمی<sup>۱</sup>، مسعود همام<sup>۲</sup>، محمد ابراهیمی<sup>۳</sup>، رسول اسماعیلی<sup>۴\*</sup>، زهرا طهماسبی<sup>۱</sup>

- ۱- گروه زمین‌شناسی، دانشکده علوم پایه، دانشگاه لرستان
- ۲- گروه زمین‌شناسی، دانشکده علوم پایه، دانشگاه فردوسی مشهد
- ۳- گروه زمین‌شناسی، دانشکده علوم، دانشگاه زنجان
- ۴- انسٹیتو زمین‌شناسی و ژئوفیزیک، آکادمی علوم، پکن، چین

(دریافت مقاله: ۹۸/۶/۴، نسخه نهایی: ۹۸/۹/۶)

چکیده: منطقه گیسور در شرق شهرستان گناباد، بخشی از شمال قطعه لوت محسوب می‌شود. سنگ‌های این منطقه شامل سنگ‌های گرانیتوئیدی و مجموعه دگرگونی هستند. در سنگ‌های متاپلیتی (رسی دگرگونه) این منطقه وجود شیستوارگی  $S_1$  و کانی کلریتوئید شاخص دگرگونی ناحیه‌ای است و به عنوان شواهد دگرگونی مجاورتی می‌توان به وجود بافت‌های تصادفی در کانی‌های آندالوزیت، استارولیت، مسکوویت، گارنت پس از زمین ساخت و رشد سیلیمانیت منشوری به درون لبه آندالوزیت اشاره کرد. گارنت دارای دو مرحله رشد بوده و بیشتر دارای اعضای پایانی آلماندین، گروسولار و اسپسارتین است. کلریتوئید و استارولیت از نوع آهن‌دار هستند. مسکوویت کمی جایگزینی از نوع پاراگونیت دارد. کلریتی شدن بیوتیت و گارنت، سریسیتی شدن آندالوزیت و بروز ریزترک‌های شعاعی در گارنت همه نشان دهنده یک دگرگونی پسروند و بالاًمدگی هستند. براساس روش‌های زمین دما-فشارسنگی مرسوم، دما و فشار این مجموعه دگرگونی در گستره‌های  $60.8^{\circ}C - 4.5 \text{ kbar}$  برآورد شدند. وجود ریزترک‌های شعاعی پیرامون میانبارهای کوارتز در گارنت ناشی از یک مؤلفه بزرگ کاهش فشار همدماست.

واژه‌های کلیدی: گیسور، گناباد، دگرگونی ناحیه‌ای؛ دگرگونی مجاورتی؛ زمین دما-فشارسنگ؛ قطعه لوت.

نظریه‌های مختلفی ارائه شده است؛ برخی آن را مربوط به پدیده‌هایی چون فرورانش [۴، ۵]، شرایط کششی [۶] و حتی فرورانش دوسویه [۷] نسبت داده‌اند. از جمله فعالیت‌های ماقمایی در قطعه لوت، توده گرانودیوریتی گیسور است که بر سازندهای کنار خود اثر گذاشته و آن‌ها را دچار دگرگونی مجاورتی کرده است.

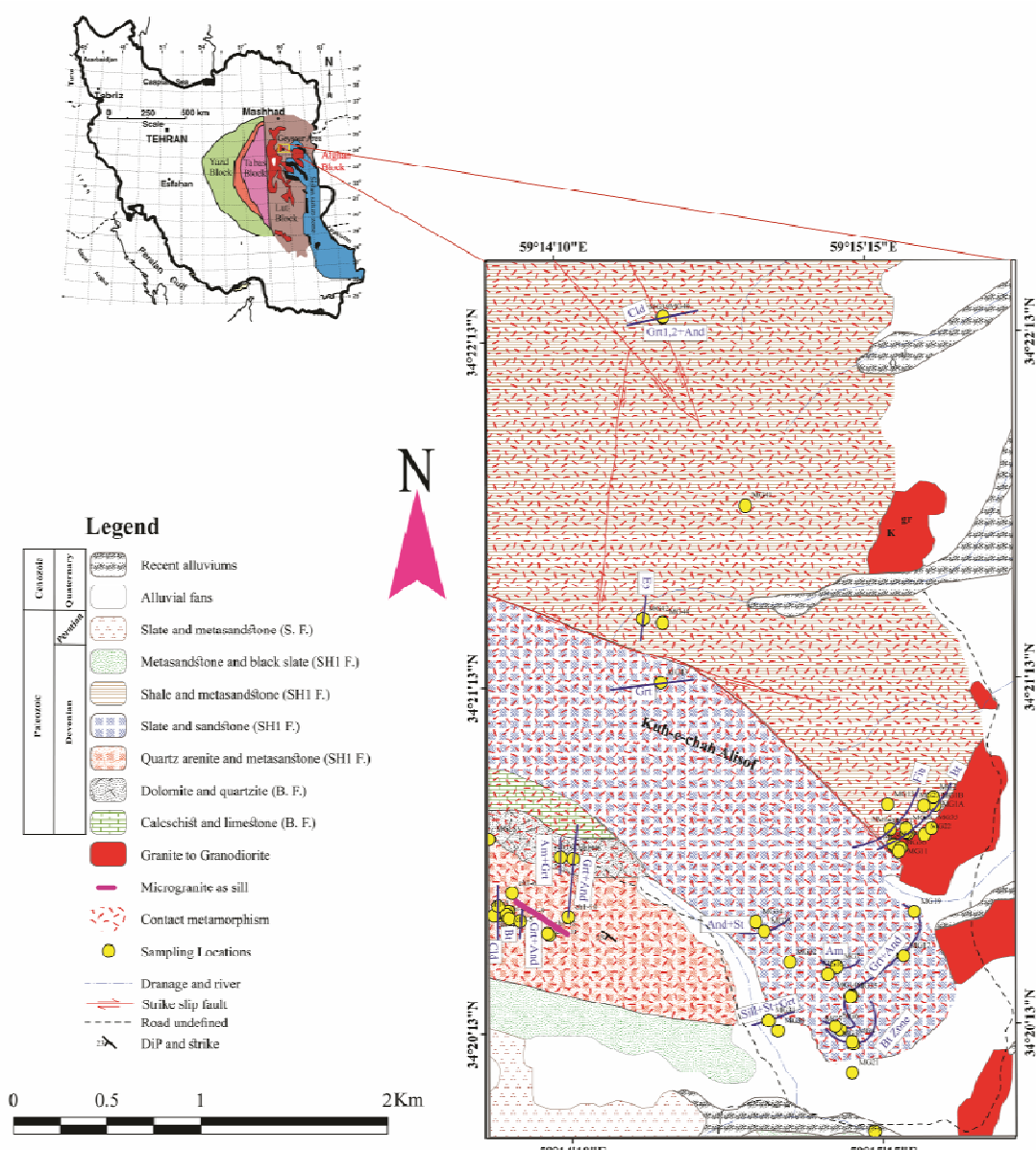
مجموعه دگرگونی گیسور در ۵۸ کیلومتری شرق شهرستان گناباد قرار دارد و بخشی از ناحیه شمالی پهنه ساختاری قطعه لوت به شمار می‌آید [۸]. این منطقه بخشی از نقشه ۱:۱۰۰۰۰۰ نوده [۹] و نقشه ۱:۲۵۰۰۰۰ گناباد [۱۰] به

### مقدمه

قطعه لوت را نخستین بار اشتوكلین [۱] به عنوان یکی از پهنه ساختاری در شرق ایران معرفی کرد. او و همکارش مرز شرقی قطعه لوت را گسل نهبندان و حوضه فلیش شرق ایران و مرز غربی آن را گسل ناییند و قطعه طبس مشخص کردند [۲]. مرز شمالی این قطعه با فروافتادگی جنوب کاشمر و مرز جنوبی آن به فرونژیت جازموریان بسته می‌شود. از ویژگی‌های بی مانند قطعه لوت، فعالیت ماقمایی آن بوده که از ژوراسیک آغاز شده و در ترشیاری به اوج خود رسیده است [۳]. در ارتباط با چگونگی فعالیت‌های زمین‌ساختی ماقمایی در این قطعه

\*نویسنده مسئول، تلفن نامبر: ۰۶۶۳۳۱۲۰۶۱۹، پست الکترونیکی: ahmadikhajalaj.a@lu.ac.ir

کردند. جوادی [۱۳] سنگ‌های دگرگونی منطقه گیسور را وابسته به دگرگونی ناحیه‌ای و مجاورتی دانسته و هاله دگرگونی مجاورتی را با نوع ۲b همسان می‌داند. برای مجموعه دگرگونی گیسور بررسی‌های دقیق و منسجمی صورت نگرفته است. بررسی این مجموعه و ارتباط آن با توده گرانودیوریتی گیسور کمک شایانی به شناخت جایگاه زمین‌ساختی و فعالیت ماقمایی شمال قطعه لوت خواهد کرد. از این‌رو، در این پژوهش افزون بر آزمون روش‌های مختلف برای تعیین شرایط دگرگونی، ویژگی‌های صحرایی، سنگنگاری، شیمی کانی و مسیر تکاملی سنگ‌های دگرگونی گیسور بررسی شده است.



شکل ۱ نقشه زمین‌شناسی منطقه مورد بررسی، برگرفته از نقشه ۱:۱۰۰۰۰۰ زمین‌شناسی نوده [۹] با کمی تغییرات. علائم استفاده شده در راهنمای نقشه عبارتند از: B.F = سازند بهرام، S.F = سازند شیشت و SH1.F = سازند شیشت‌تو ۱ و ۲.

مختصات طول جغرافیایی "۵۹° ۱۳' ۵۲" تا "۵۹° ۱۵' ۴۲" و عرض جغرافیایی "۳۴° ۲۲' ۲۴" تا "۳۴° ۱۹' ۵۴". شمالی است (شکل ۱).

از جمله پژوهش‌های انجام شده در این منطقه، بررسی‌های شرکت فرانسوی B.R.G.M. بوده است که در کنار بررسی‌های زمین شیمیایی عناصر، اقدام به سن‌سنجی بر زیرکن‌های موجود در گرانیت‌های گیسور با روش U-Pb کردند [۱۱]. کریم‌پور و مرادی [۱۲] با استفاده از روش U-Pb در زیرکن، در گستره نقشه‌های زمین‌شناسی نوده و گناباد [۱۰، ۹]، سن توده‌های مونزونیتی نجم‌آباد (۳۹.۹ میلیون سال) را تعیین

سمت جنوب‌غرب است. شیستوارگی با آذرین لایه میکروگرانیتی هم راستاست [۲۱]. این منطقه در معرض گسل‌های راستا لغز بوده که حرکات آن‌ها بر سنگ‌های پیرامون اثر گذاشته‌اند (شکل ۱). در برخی موارد، سنگ‌های گرانیتی پیرامون گسل‌ها خرد شده و به سوی میلیونیتی‌شدن پیش رفته‌اند.

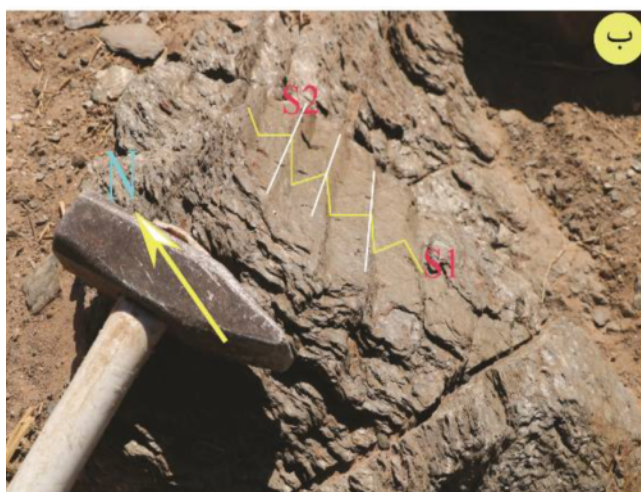
در شرق منطقه مورد بررسی و در کنار توده گرانیتوئیدی گیسور درون شکستگی‌های میکاشیست‌ها، رگچه‌هایی بسیار متراکم از تورمالین با پهنهای  $10\text{ cm}$  دیده می‌شوند. در این مجموعه، رگه‌های پگماتیتی سرشار از مسکوویت‌های درشت و تورمالین قابل مشاهده‌اند که به احتمال بسیار در ارتباط با جریان سیال‌های بورداری است که از توده گرانیتوئیدی شکل گرفته‌اند. در لبه‌های توده، سنگ‌های دگرگونی دارای بیوتیت یا به عبارت دیگر بیوتیت شیست‌ها تشکیل شده‌اند. در ضلع شرقی، پس از بیوتیت شیست‌ها، بیوتیت-فیبرولیت شیست‌ها قرار دارند که به احتمال بسیار فیبرولیت در اثر سیال‌های اسیدی از بیوتیت شکل گرفته است [۲۲]. در انتهای ضلع غربی، کلریتوئید شیست‌ها رخ‌منون دارند. همچنین کلریتوئید شیست‌ها در ضلع شمالی دیده می‌شوند که با آندالوزیت همراهی می‌شوند. در این بخش، آندالوزیت - گارنت شیست نیز دیده می‌شود. در بخش مرکزی و شرقی، اپیدوت شیست‌ها به همراه آندالوزیت شیست‌ها به طور متناوب قرار گرفته‌اند که به احتمال بسیار در ارتباط با تغییر ترکیب محلی است. در ضلع جنوبی، گارنت بصورت گستره‌تر، استارولیت و سرانجام سیلیمانیت منشوری دیده می‌شوند (شکل ۱). بنابراین در بخش جنوبی، افزایش دما بیشتر بوده است و ضلع شرقی بیشتر در معرض سیال‌های بوردار و اسیدی بوده است. برخی از کانی‌ها مانند آندالوزیت، استارولیت و مسکوویت بطور تصادفی در سنگ‌ها رشد کرده‌اند که نشانگر افزایش دمای ناشی از نفوذ توده‌های آذرین گرانیتوئیدی است. اندازه بلورهای آندالوزیت و گارنت به ترتیب به  $۰.۶\text{ cm}$  و  $۰.۸\text{ cm}$  می‌رسد. افزون بر این، در کنار آذرین لایه میکروگرانیتی، گارنت به رنگ قرمز آلبالویی رشد کرده است. آندالوزیت‌های موجود در بخش شمالی و غربی به شدت دگرسان و سریسیتی شده‌اند.

## مواد و روش‌ها

در راستای بررسی واحدهای سنگی مجموعه دگرگونی گیسور در ۵۲ ایستگاه نمونه‌برداری شد که در کنار بررسی صحرایی و سنگ‌شناسی از آنها تعداد ۴۹ مقطع نازک به منظور سنگ‌نگاری تهیه شد. از میان نمونه‌های برداشت شده، تعداد ۲ نمونه برای بررسی‌های زمین شیمیایی سنگ کل انتخاب و پس از خردایش برای تجزیه شیمیایی به آزمایشگاه ACME ونکور کانادا فرستاده شد عناصر اصلی به روش طیف سنجی نشر اتمی پلاسمای جفت شده القایی (ICP-AES) تجزیه شد. از بین مقاطع نازک، ۳ نمونه با بیشترین تعداد کانی برای تجزیه ۱۱۵ نقطه انتخاب و توسط دستگاه ریزکاو الکترونی کامکا مدل SX ۲۰ nA با ولتاژ شتاب دهنده  $15\text{ kV}$  و جریان پرتو  $5\text{ }\mu\text{m}$  در موسسه زمین‌شناسی و زمین فیزیک انجمن علوم کشور چین (IGG-CAS) بررسی شدند. در این بررسی در حد ممکن از داده‌های با اعتبار کافی استفاده شد. نتایج به کمک نرم افزارهای گوناگون از قبیل Thermocalc v.3.7 [۱۴] با بانک اطلاعاتی Gibbs.tcds55 [۱۵] با WinCcac v.2.1 [۱۶] و Theriak-Domino v.2.1 [۱۷] با tcdb55 پردازش شد و اساس تجزیه و تحلیل قرار گرفت. علائم بکار رفته در این نوشتار برگرفته از مراجع [۲۰، ۱۹] است.

## زمین‌شناسی

مجموعه دگرگونی گیسور در اثر توده‌های نفوذی دارای طیف گوناگونی از سنگ‌های اسلیت و فیلیت تا انواع شیست‌ها (کلریتوئید شیست، گارنت شیست، بیوتیت-استارولیت-گارنت شیست، آندالوزیت شیست، سیلیمانیت-آندالوزیت شیست، آندالوزیت-گارنت شیست و آندالوزیت-سیلیمانیت-استارولیت-گارنت شیست) است. این مجموعه با رنگ سبز در بین سایر سازندهای منطقه قابل تشخیص است و در آن، ساختار بودین و ریزچین‌ها دیده می‌شوند. بودین شدگی در راستای شمال‌شرقی - جنوب‌غربی و موادی با محور ریزچین‌ها رخ داده و خطواره‌های یکسانی ایجاد کرده است. بعارت دیگر، راستای کشش بودین موازی راستای خطواره ریزچین‌هاست (شکل ۲). راستای شیستوارگی شمال‌غربی - جنوب‌شرقی با شبیه به



شکل ۲ ب) ریز چین‌ها که شیستوارگی‌های  $S_1$  و  $S_2$  در آن دیده می‌شوند.

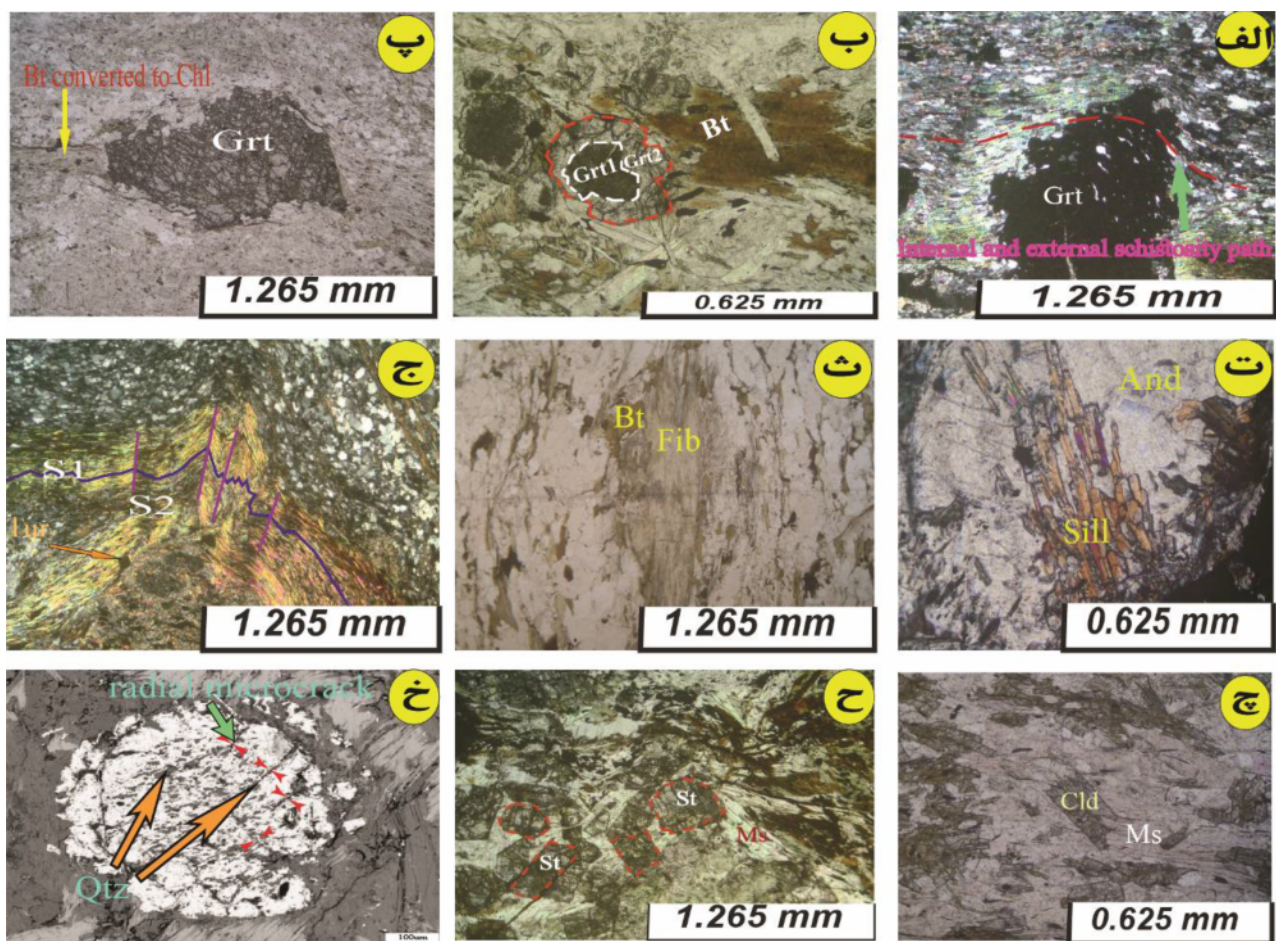


شکل ۲ الف) بودین که راستای کشش در آن مشخص شده است و ب) ریز چین‌ها که شیستوارگی‌های  $S_1$  و  $S_2$  در آن دیده می‌شوند.

آندالوزیت با شیستوارگی خارجی همراستا هستند، بعبارت دیگر، آن‌ها نیز پسا زمین‌ساخت هستند. سیلیمانیت به دو صورت الیافی و منشوری دیده می‌شود. سیلیمانیت الیافی (فیبرولیت) از بیوتیت ناشی شده و سیلیمانیت منشوری از تبدیل چندشکلی آندالوزیت بوجود آمده و از لبه آندالوزیت به درون آن رشد کرده است (شکل ۳ ت). استارولیت در نور معمولی با چند رنگی زرد تا بی‌رنگ و برجستگی بالا شناخته می‌شود. استارولیت نیز به صورت متقطع و دارای آرایش تصادفی است (شکل ۳ ح). کلریت بیشتر از بیوتیت بوجود آمده و یک کانی ثانوی است. کلریت به صورت کاذب جایگزین بیوتیت شده است. بلورهای مسکوویت اولیه موادی با شیستوارگی و بلورهای مسکوویت ثانوی دارای آرایش تصادفی هستند. کلریتوئید به موادی با شیستوارگی و در نور عادی دارای چند رنگی سبز مایل به آبی کم رنگ و دارای ماکل تکراری است. کوارتز دارای خاموشی موجی بوده و مرز بین دانه‌های آن خمیده و نامنظم است. بلورهای کوارتز در نقاط سه‌گانه زاویه  $120^\circ$  درجه تشکیل نمی‌دهند، بنابراین انرژی سطحی کل در آن‌ها بالاست [۲۳]. پلازیوکلازاها با ماکل تکراری در برخی از انواع شیستهای دیده می‌شوند. تورمالین نیز روی شیستوارگی رشد کرده و آن را قطع می‌کند. شیستوارگی اولیه در اثر عامل تنشی دیگری دوباره دچار چین‌خوردگی شده است (شکل‌های ۲ و ۳ ج). لایه‌بندی ترکیبی در شیستهای نشان می‌دهد که هر لایه در مقایسه با کوارتز از بیوتیت و مسکوویت غنی‌تر یا فقیرتر شده است (شکل ۳ ج).

### سنگنگاری

کانی‌های اصلی مجموعه دگرگونی در متاپلیت‌ها همه که شامل استارولیت، گارنت، آندالوزیت، سیلیمانیت و کلریتوئید و همه به صورت شکفته بلور هستند. کانی‌های بیوتیت، کلریت و مسکوویت نیز شیستوارگی را می‌سازند. همچنین کوارتز و کانی‌های کدر به همراه آن‌ها وجود دارند. گارنت دارای میانبارهایی از بیوتیت، مسکوویت، کوارتز و کانی‌های کدر و گاهی شکستگی‌های بسیار لانه زنبوری و در مواردی نیز شکستگی‌های شعاعی و محیطی (شکل ۳ خ) است. گارنت کنار این ترک‌ها کلریتی شده است. این کانی روی شیستوارگی رشد کرده و آنرا قطع نموده است. میانبارهای موجود در شیستوارگی داخلی با شیستوارگی زمینه (شیستوارگی خارجی) همراستا هستند (شکل ۳ الف)، همچنین بافتی چون سایه فشاری که از نشانه‌های گارنت‌های همزمان با زمین‌ساخت است، در آن‌ها دیده نمی‌شود. بنابراین، بلورهای گارنت پسا زمین‌ساخت هستند (شکل‌های ۳ الف و پ). گارنت در دو مرحله رشد کرده است در مرحله نخست، شکل بلور گارنت منظم نیست (شکل ۳ ب) و میانبارهای بسیاری از کانی‌های کوارتز بی‌شکل و در اندازه‌های مختلف دارد (شکل ۳ خ)، اما در مرحله دوم، بدون میانبار و دارای شکل بلوری منظم‌تر است (شکل ۳ ب). آندالوزیت اغلب در سراسر مجموعه دگرگونی وجود دارد و سریسیتی شده است. در بخش‌های سالم این کانی، میانبارهایی از بیوتیت، مسکوویت، استارولیت و سیلیمانیت منشوری و کانی‌های کدر دیده می‌شود. جهت میانبارهای بیوتیت در



شکل ۳ الف) مسیرهای شیستوارگی درونی گارنت و زمینه که همراستا هستند. ب) گارنت با دو مرحله رشد. پ) گارنت با شکستگی لانه زنبوری که بر شیستوارگی رشد کرده و پسا زمین ساخت است. ت) سیلیمانیت منشوری که از لبه به درون آندالوزیت رشد کرده است. ث) فیبرولیت که از بیوتیت ناشی شده است. ج) ریزچین‌ها (شیستوارگی‌های  $S_1$  و  $S_2$ ) بر آن‌ها نمایش داده شده‌اند. چ) کلریتوئید در زمینه‌ای از مسکوویت که شیستوارگی را ایجاد نموده است. ح) بلورهای استارولیت به طور متقاطع و تصادفی قرار گرفته‌اند و کنار آنها مسکوویت دیده می‌شود. خ) ریزترک‌های شعاعی و بلورهای کوارتز که در پهنه گارنت (نمونه MG<sub>39</sub>) با هم در ارتباط‌اند. علامت بکار رفته برگرفته از مراجع [۲۰، ۱۹] است.

می‌شود. مقدار  $TiO_2$  در کلریتوئید کمتر از ۰,۰۲ wt% و مقدار  $CaO$  آن کمتر از ۰,۰۴ wt% ( $Ti = 0-0.004 apfu$ ) است که نشانگر نبود میانبارهای آپاتیت، اسفن و یا کربنات-هاست. مقادیر  $Na_2O$  و  $K_2O$  ( $Na_2O \leq 0.015 apfu$  و  $K_2O \leq 0.003 apfu$ ) نیز بسیار کم بوده که نشانگر نبود میانبارهای میکای پتاسیم‌دار و یا پاراگونیت است [۲۴]. مقدار  $Mn$  به ۰,۰۵۸ apfu می‌رسد. شکل ۴ ترکیب کلریتوئیدها را بر نمودار مثلثی  $Mn$ - $Fe^{2+}$ - $Mg$  نشان می‌دهد. که براساس آن جایگاه مکعبی کلریتوئید توسط  $Fe^{2+}$  پر شده است [۲۵]، بعارت دیگر، کلریتوئیدها از نوع آهن‌دار هستند.

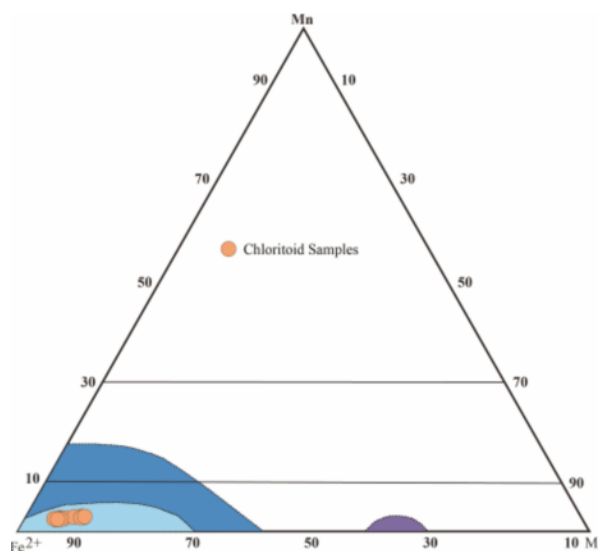
**شیمی کانی**  
کانی‌های دگرگونی شامل کلریتوئید، گارنت، استارولیت، آندالوزیت، مسکوویت و بیوتیت در نمونه‌های انتخاب شده از شیستهای با استفاده از ریز پردازشگر تجزیه شدند که نتایج به دست آمده در جدول‌های ۱ تا ۵ ارائه شده‌اند.

#### کلریتوئید

کلریتوئید یک کانی شاخص با درجه دگرگونی ناحیه‌ای پایین تا متوسط در سنگ‌های پلیتی است. نتایج تجزیه نقطه-ای آن در جدول ۱ ارائه شده است. تعداد کاتیون‌ها براساس ۱۲ اکسیژن محاسبه شده‌اند. مقدار کل اکسیدها بین ۹۰,۰۱۴ و ۹۳,۰۱۳ درصد است که برای کلریتوئید مقدار خوبی محسوب

جدول ۱ نتایج تجزیه نقطه‌ای کلریتوئید. تعداد کاتیون‌ها براساس ۱۲ اکسیژن محاسبه شده‌اند.

| شماره نمونه               | ۱      | ۲       | ۳       | ۴       | ۵       | ۶       | ۷       | ۸       | ۹         | ۱۰      | ۱۱      | ۱۲      |
|---------------------------|--------|---------|---------|---------|---------|---------|---------|---------|-----------|---------|---------|---------|
| $\text{SiO}_2$            | ۲۴,۷۹۴ | ۲۳,۴۶۶  | ۲۴,۷۲۳  | ۲۴,۰۵۳  | ۲۴,۰۱۶  | ۲۴,۳۶۵  | ۲۴,۲۲۶  | ۲۳,۶۷۲  | ۲۳,۷۲۳    | ۲۳,۸۱۰  | ۲۳,۹۵۹  | ۲۴,۰۰۸  |
| $\text{TiO}_2$            | ۰,۰۲۹  | ۰,۰۳۷   | ۰,۰۴۶   | ۰,۰۰۰   | ۰,۰۳۳   | ۰,۰۰۰   | ۰,۰۰۰   | ۰,۰۰۰   | ۰,۰۰۰     | ۰,۰۰۰   | ۰,۰۰۰   | ۰,۰۰۰   |
| $\text{Al}_2\text{O}_3$   | ۴,۰۷۶  | ۳,۹,۵۲۳ | ۴,۰,۲۲۳ | ۴,۰,۷۴۵ | ۴,۰,۱۶۵ | ۴,۰,۱۶۶ | ۴,۰,۹۳۳ | ۳,۹,۸۵۸ | ۳,۰,۹,۶۰۷ | ۴,۰,۰۷۰ | ۴,۰,۳۶۱ | ۴,۰,۴۹۵ |
| $\text{FeO}$              | ۲۴,۴۹۰ | ۲۵,۴۴۹  | ۲۶,۲۴۴  | ۲۶,۰۰۴  | ۲۴,۵۰۵  | ۲۵,۲۲۳  | ۲۴,۰۷۴  | ۲۵,۲۸۰  | ۲۶,۱۵۶    | ۲۶,۳۸۱  | ۲۵,۰۵۷  | ۲۴,۷۲۷  |
| $\text{MnO}$              | ۰,۸۲۵  | ۰,۶۶۶   | ۰,۶۹۹   | ۰,۷۱۲   | ۰,۷۶۶   | ۰,۸۰۵   | ۰,۷۹۸   | ۰,۷۷۶   | ۰,۷۰۴     | ۰,۶۶۳   | ۰,۷۳۵   | ۰,۸۷    |
| $\text{MgO}$              | ۱,۶۱۸  | ۰,۱۹۱   | ۱,۰۱۹   | ۰,۹۵۷   | ۱,۵۱۷   | ۱,۳۴۰   | ۱,۶۱۳   | ۱,۰۸۰   | ۰,۸۰۹     | ۰,۸۹۶   | ۰,۹۳۹   | ۱,۰۴۵   |
| $\text{CaO}$              | ۰,۰۰۰  | ۰,۰۲۹   | ۰,۰۰۷   | ۰,۰۱۶   | ۰,۰۴۱   | ۰,۰۰۰   | ۰,۰۰۰   | ۰,۰۱۷   | ۰,۰۰۰     | ۰,۰۱۵   | ۰,۰۰۲   | ۰,۰۱۷   |
| $\text{Na}_2\text{O}$     | ۰,۰۴۲  | ۰,۰۳۴   | ۰,۰۱۳   | ۰,۰۱۸   | ۰,۰۹۳   | ۰,۰۵۴   | ۰,۰۰۶   | ۰,۰۰۵   | ۰,۰۰۸     | ۰,۰۳۷   | ۰,۰۴۴   | ۰,۰۱۱   |
| $\text{K}_2\text{O}$      | ۰,۰۰۷  | ۰,۰۰۱   | ۰,۰۰۳   | ۰,۰۰۸   | ۰,۰۲۶   | ۰,۰۲۸   | ۰,۰۱۲   | ۰,۰۰۰   | ۰,۰۰۵     | ۰,۰۳۰   | ۰,۰۲۴   | ۰,۰۲۴   |
| $\text{SrO}$              | ۰,۰۰۰  | ۰,۰۰۰   | ۰,۰۰۰   | ۰,۰۰۰   | ۰,۰۶۵   | ۰,۰۰۰   | ۰,۰۰۰   | ۰,۰۰۰   | ۰,۰۰۰     | ۰,۰۰۰   | ۰,۰۰۰   | ۰,۰۰۰   |
| $\text{BaO}$              | ۰,۰۰۰  | ۰,۰۰۰   | ۰,۰۰۰   | ۰,۰۰۰   | ۰,۰۰۳   | ۰,۰۰۰   | ۰,۰۱۵   | ۰,۰۶۸   | ۰,۰۰۷     | ۰,۰۴۶   | ۰,۰۰۰   | ۰,۰۱۷   |
| $\text{Cr}_2\text{O}_3$   | ۰,۰۰۰  | ۰,۰۰۰   | ۰,۰۰۰   | ۰,۰۰۰   | ۰,۰۰۰   | ۰,۰۰۰   | ۰,۰۱۰   | ۰,۰۰۲   | ۰,۰۰۰     | ۰,۰۲۱   | ۰,۰۰۰   | ۰,۰۰۷   |
| $\text{NiO}$              | ۰,۰۰۰  | ۰,۰۰۰   | ۰,۰۰۰   | ۰,۰۰۰   | ۰,۰۰۰   | ۰,۰۰۰   | ۰,۰۰۲   | ۰,۰۰۰   | ۰,۰۰۵     | ۰,۰۴۴   | ۰,۰۳۳   | ۰,۰۱۳   |
| مجموع                     | ۹۱,۷۸۱ | ۹۰,۰۹۶  | ۹۲,۱۲۷  | ۹۳,۰۱۳  | ۹۱,۱۹۷  | ۹۲,۰۱۴  | ۹۲,۱۷۷  | ۹۰,۷۲۸  | ۹۱,۰۴۹    | ۹۱,۹۸۷  | ۹۱,۶۱۷  | ۹۱,۶۹۴  |
| $\text{Si}$               | ۲,۰۲۷  | ۲,۰۱۰   | ۲,۰۱۹   | ۲,۰۳۳   | ۲,۰۲۱   | ۲,۰۳۶   | ۲,۰۱۲   | ۲,۰۱۲   | ۲,۰۱۷     | ۲,۰۰۵   | ۲,۰۱۵   | ۲,۰۱۰   |
| $\text{Al}_{(\text{iv})}$ | ۳,۰۰۰  | ۳,۰۰۰   | ۳,۰۰۰   | ۳,۰۰۰   | ۳,۰۰۰   | ۳,۰۰۰   | ۳,۰۰۰   | ۳,۰۰۰   | ۳,۰۰۰     | ۳,۰۰۰   | ۳,۰۰۰   | ۳,۰۰۰   |
| $\text{Al}_{(\text{vi})}$ | ۰,۹۸۰  | ۰,۹۹۰   | ۰,۹۵۷   | ۰,۹۷۵   | ۰,۹۸۴   | ۰,۹۵۵   | ۱,۰۰۸   | ۰,۹۹۲   | ۰,۹۶۸     | ۰,۹۷۸   | ۱,۰۰۰   | ۰,۹۹۶   |
| $\text{Ti}$               | ۰,۰۰۲  | ۰,۰۰۲   | ۰,۰۰۳   | ۰,۰۰۰   | ۰,۰۰۰   | ۰,۰۰۲   | ۰,۰۰۰   | ۰,۰۰۰   | ۰,۰۰۰     | ۰,۰۰۰   | ۰,۰۰۰   | ۰,۰۰۰   |
| $\text{Fe}^{3+}$          | ۰,۰۰۰  | ۰,۰۰۰   | ۰,۰۰۰   | ۰,۰۰۰   | ۰,۰۰۰   | ۰,۰۰۰   | ۰,۰۰۰   | ۰,۰۰۰   | ۰,۰۰۰     | ۰,۰۰۰   | ۰,۰۰۰   | ۰,۰۰۰   |
| $\text{Mg}$               | ۰,۲۰۱  | ۰,۱۱۴   | ۰,۱۲۷   | ۰,۱۱۸   | ۰,۱۹۰   | ۰,۱۶۷   | ۰,۲۰۰   | ۰,۱۳۷   | ۰,۱۰۲     | ۰,۱۱۲   | ۰,۱۱۸   | ۰,۱۹۳   |
| $\text{Fe}^{2+}$          | ۱,۷۰۹  | ۱,۸۲۳   | ۱,۸۴۱   | ۱,۸۰۰   | ۱,۷۲۵   | ۱,۷۶۲   | ۱,۷۰۷   | ۱,۷۹۷   | ۱,۸۵۹     | ۱,۸۵۸   | ۱,۷۹۴   | ۱,۷۳۱   |
| $\text{Mn}$               | ۰,۰۵۸  | ۰,۴۸    | ۰,۰۵۰   | ۰,۰۵۰   | ۰,۰۵۵   | ۰,۰۵۷   | ۰,۰۵۶   | ۰,۰۵۳   | ۰,۰۵۱     | ۰,۰۴۷   | ۰,۰۵۲   | ۰,۰۵۹   |
| $\text{Ca}$               | ۰,۰۰۰  | ۰,۰۰۳   | ۰,۰۰۱   | ۰,۰۰۱   | ۰,۰۰۴   | ۰,۰۰۰   | ۰,۰۰۰   | ۰,۰۰۲   | ۰,۰۰۰     | ۰,۰۰۱   | ۰,۰۰۰   | ۰,۰۰۲   |
| $\text{Na}$               | ۰,۰۰۷  | ۰,۰۰۶   | ۰,۰۰۲   | ۰,۰۰۳   | ۰,۰۱۵   | ۰,۰۰۹   | ۰,۰۰۱   | ۰,۰۰۱   | ۰,۰۰۱     | ۰,۰۰۶   | ۰,۰۰۷   | ۰,۰۰۲   |
| $\text{K}$                | ۰,۰۰۱  | ۰,۰۰۰   | ۰,۰۰۰   | ۰,۰۰۱   | ۰,۰۰۳   | ۰,۰۰۳   | ۰,۰۰۰   | ۰,۰۰۱   | ۰,۰۰۰     | ۰,۰۰۱   | ۰,۰۰۳   | ۰,۰۰۳   |

شکل ۴ نمودار مثلثی  $\text{Mg}-\text{Fe}^{2+}-\text{Mn}$  که براساس ان جایگاه مکعبی کلریتوئید توسط  $\text{Fe}^{2+}$  پر شده است.

بنابراین باید بین جایگاه‌های بلوری X و Y جانشینی‌های ساده وجود داشته باشد (جدول ۲). از آنجا که دو عضو پایانی اواروایت و آندرادیت با گروسوالار محلول جامد می‌سازند، این جانشینی‌ها به ترتیب به صورت  $\text{AlCr}^{3+}$  و  $\text{AlFe}^{3+}$  است. بنابراین گارنت در این نمونه‌ها غیر آرمانی است. با این وجود، مجموع کاتیون‌ها در هر دو جایگاه بلوری X و Y بسیار به مجموع کاتیون‌ها در فرمول عمومی نزدیک است، بعبارت دیگر، مقادیر اعضاي پایانی اواروایت و آندرادیت ناچیز هستند.

گارنت با فرمول کلی  $\text{X}_3\text{Y}_2\text{Z}_3\text{O}_{12}$  شناخته می‌شود که کاتیون‌های جایگاه X شامل  $\text{Mn}^{2+}$ ،  $\text{Ca}$ ،  $\text{Mg}$ ،  $\text{Fe}^{2+}$ ،  $\text{Al}$ ،  $\text{Cr}$ ،  $\text{Fe}^{3+}$ ،  $\text{Mg}$ ،  $\text{Si}$  و  $\text{Ti}$  های جایگاه Y شامل  $\text{Al}$  هستند. در نمونه‌های کاتیون‌های جایگاه Z دربردارنده  $\text{Si}$  و  $\text{Al}$  هستند. MG<sub>31B</sub> و MG<sub>39</sub>، مجموع کاتیون‌ها در جایگاه X از  $2,97 < \text{apfu} < 2,94$  و مجموع کاتیون‌ها در جایگاه Y بیشتر از  $2,05 < \text{apfu} < 2,02$  است [۲۶].

آن از ۷۴,۰۲ تا ۷۴,۱۷٪ تغییر می‌کند، اما مقدار این عضو پایانی در لبه گارنت نوع ۲ به ۸۴,۰۴٪ می‌رسد. افزون بر این، مقدار آلماندین در گارنت نوع ۱ از مرکز به لبه افزایش می‌یابد. مقدار عضو پایانی اسپسارتین نیز در مرکز گارنت نوع ۱ از ۱۰,۶۷ تا ۱۳,۵۲٪ و در لبه از ۶,۶۵ تا ۱۲,۴۵٪ تغییر می‌کند، به هر حال این مقدار از مرکز به لبه کاهش می‌یابد. این مقدار در لبه گارنت نوع ۲ به ۵,۴۲٪ کاهش می‌یابد. مقدار عضو پایانی گروسوولار در مرکز گارنت نوع ۱ از ۲,۶۴ تا ۲,۶۱٪ و در لبه از ۰,۹۶ تا ۰,۷۶٪ متغیر است، در نتیجه مقدار آن از مرکز به لبه کاهش می‌یابد، و در لبه گارنت نوع ۲ به ۱,۴۳٪ می‌رسد.

بنابراین، گارنت در نمونه‌های جدول ۲ می‌تواند رفتاری شبیه به گارنت‌های آرمانی داشته باشد.

در جدول ۲ فرمول ساختاری گارنت براساس ۱۲ اکسیژن و ۸ کاتیون محاسبه شده است. ترکیب لبه به لبه برحی از گارنت‌ها در آن ارائه شده است. در گارنت نمونه MG<sub>31B</sub>، از مرکز به سمت لبه، مقدار عضو پایانی آلماندین و گروسوولار به ترتیب از ۸۲,۰٪ تا ۸۴,۶۸٪ و از ۲,۷۷٪ تا ۳,۵۲٪ افزایش یافته، در حالی که مقدار عضو پایانی اسپسارتین از ۵,۷۳٪ به ۳,۵۸٪ کاهش می‌یابد. اما در نمونه MG<sub>39</sub> با دو نوع گارنت ۱ و ۲، کاهش می‌یابد. است این مقادیر با تغییراتی همراه هستند. در مرکز گارنت نوع ۱، مقدار عضو پایانی آلماندین بین ۷۲,۱۹٪ تا ۷۲,۲۸٪ در لبه

جدول ۲ نتایج تجزیه نقطه‌ای گارنت و محاسبه فرمول ساختاری آن. محاسبات براساس ۸ کاتیون و ۱۲ آنیون (X<sub>3</sub>Y<sub>2</sub>Z<sub>3</sub>O<sub>12</sub>) بدون تهی‌جا در جایگاه‌های X یا Y انجام شده است. محاسبه نسبت‌های آهن سه ظرفیتی و دو ظرفیتی بر اساس موازنۀ بار است.

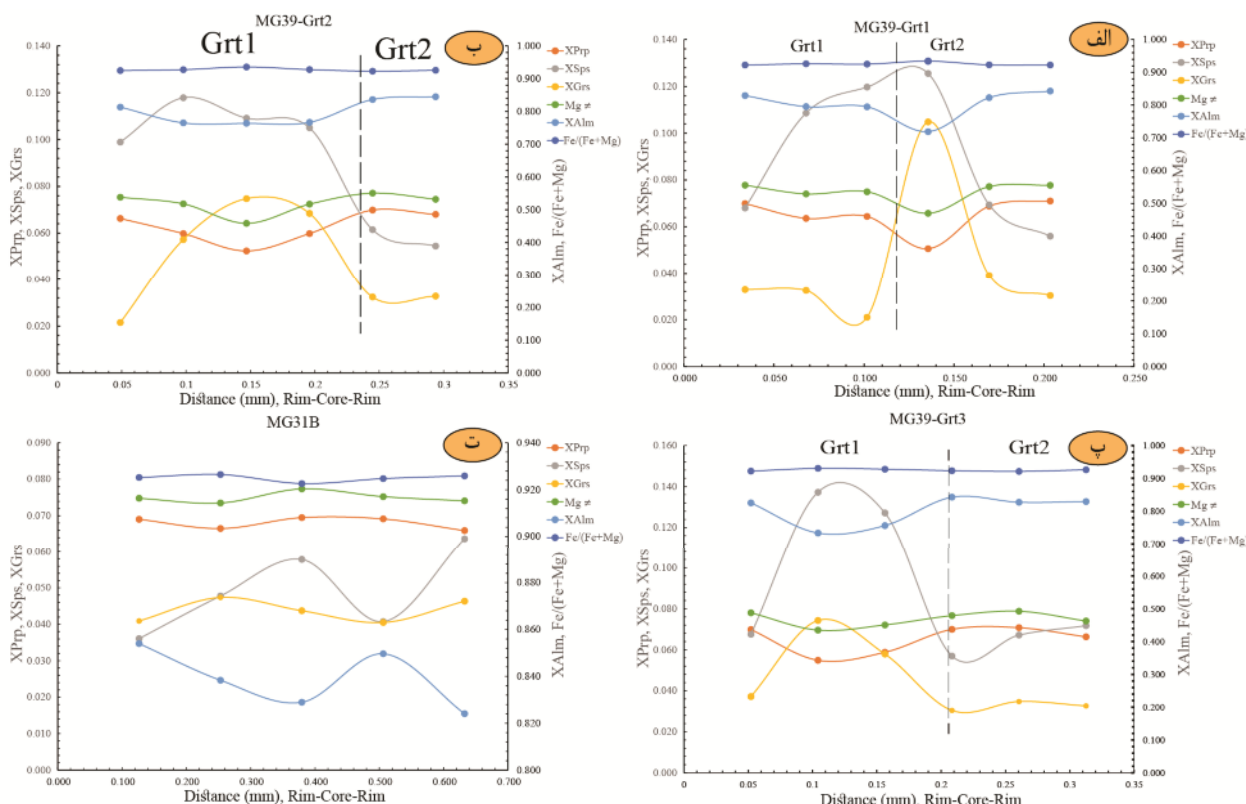
|                                | MG31B            |        |        |                  |        |        | MG39             |        |        |                  |        |        |                  |        |        |                  |        |        |        |        |        |        |
|--------------------------------|------------------|--------|--------|------------------|--------|--------|------------------|--------|--------|------------------|--------|--------|------------------|--------|--------|------------------|--------|--------|--------|--------|--------|--------|
|                                | Grt <sub>1</sub> |        |        | Grt <sub>2</sub> |        |        | Grt <sub>1</sub> |        |        | Grt <sub>2</sub> |        |        | Grt <sub>1</sub> |        |        | Grt <sub>2</sub> |        |        |        |        |        |        |
|                                | Rim              | core   | Rim    |        |        |        |        |
| شماره نمونه                    | ۱۴               | ۱۵     | ۱۶     | ۱۷               | ۱۸     | ۱۹     | ۲۰               | ۲۱     | ۲۲     | ۲۴               | ۲۵     | ۲۶     | ۲۷               | ۲۸     | ۲۹     | ۳۰               | ۳۱     | ۳۲     | ۳۴     | ۳۵     | ۳۶     |        |
| SiO <sub>2</sub>               | ۳۶,۶۴۵           | ۳۶,۲۶۳ | ۳۶,۲۸۰ | ۳۶,۴۷۳           | ۳۶,۰۰۴ | ۳۶,۹۴۳ | ۳۶,۱۶۶           | ۳۶,۲۱۵ | ۳۶,۱۴  | ۳۶,۷۵۰           | ۳۶,۱۱۹ | ۳۶,۸۱۹ | ۳۶,۱۶۵           | ۳۶,۳۹  | ۳۶,۰۱  | ۳۶,۷۲۱           | ۳۶,۲۱۳ | ۳۶,۱۸۷ | ۳۶,۱۷۹ | ۳۶,۱۱  | ۳۶,۰۷۱ |        |
| TiO <sub>2</sub>               | ۰,۰۲۴            | ۰,۰۵۵  | ۰,۱۴۹  | ۰,۲۴۰            | ۰,۰۶۸  | ۰,۰۰۰  | ۰,۰۰۰            | ۰,۰۰۰  | ۰,۰۰۰  | ۰,۰۵۶            | ۰,۰۵۱  | ۰,۰۱۸  | ۰,۰۰۰            | ۰,۰۴۹  | ۰,۰۰۰  | ۰,۰۰۰            | ۰,۰۱۴  | ۰,۰۴۶  | ۰,۰۰۰  | ۰,۰۳۰  | ۰,۰۱۹  |        |
| Al <sub>2</sub> O <sub>3</sub> | ۲۰,۹۰۵           | ۲۰,۶۶۳ | ۲۰,۶۵۴ | ۲۰,۱۷۰           | ۲۰,۳۹۹ | ۲۱,۲۷۵ | ۲۰,۲۸۷           | ۲۰,۷۱۳ | ۲۰,۶۵۶ | ۲۰,۷۸۷           | ۲۰,۶۴۹ | ۲۰,۸۰۰ | ۲۰,۶۷۸           | ۲۱,۰۷۶ | ۲۰,۱۸۷ | ۲۰,۷۳۷           | ۲۰,۰۸۲ | ۲۱,۰۹  | ۲۰,۴۴۹ | ۲۰,۴۹۸ |        |        |
| Cr <sub>2</sub> O <sub>3</sub> | ۰,۰۶۳            | ۰,۰۷۹  | ۰,۰۰۰  | ۰,۰۹۲            | ۰,۱۲۵  | ۰,۰۴۲  | ۰,۰۱۸            | ۰,۰۱۴  | ۰,۰۵۱  | ۰,۰۰۲            | ۰,۰۴۰  | ۰,۰۱۶  | ۰,۰۱۲            | ۰,۰۰۰  | ۰,۰۲۲  | ۰,۰۰۷            | ۰,۰۴۱  | ۰,۰۰۰  | ۰,۰۱۱  | ۰,۰۱۹  | ۰,۰۰۷  | ۰,۰۱۲  |
| FeO                            | ۳۸,۱۷۲           | ۳۷,۹۲۴ | ۳۷,۹۲۷ | ۳۷,۹۲۲           | ۳۷,۹۹۶ | ۳۷,۹۷۳ | ۳۷,۹۱۱           | ۳۵,۷۷۶ | ۳۵,۸۱۰ | ۳۷,۸۶۸           | ۳۶,۹۵۸ | ۳۷,۷۱۱ | ۳۶,۲۲۶           | ۳۵,۱۸۱ | ۳۴,۴۴۸ | ۳۴,۹۱۰           | ۴۰,۲۰۷ | ۳۷,۱۶۱ | ۳۷,۱۵۸ | ۳۷,۱۰۴ | ۳۶,۴۱۹ | ۳۷,۰۹۷ |
| MnO                            | ۱,۵۶۱            | ۱,۰۴۷  | ۲,۴۸۴  | ۱,۷۶۳            | ۲,۷۱۰  | ۲,۹۶۷  | ۴,۶۴۶            | ۵,۱۱۷  | ۵,۰۵۶  | ۲,۹۳۴            | ۲,۷۸۹  | ۴,۱۸۴  | ۵,۰۳۲            | ۴,۶۳۰  | ۴,۰۵۶  | ۲,۶۲۸            | ۲,۳۳۸  | ۲,۸۸۶  | ۵,۰۱۵  | ۲,۴۷۸  | ۲,۴۴۳  |        |
| MgO                            | ۱,۵۹۸            | ۱,۶۲۰  | ۱,۶۹۷  | ۱,۷۰۰            | ۱,۵۹۵  | ۱,۷۳۲  | ۱,۵۴۳            | ۱,۵۶۵  | ۱,۲۷۷  | ۱,۶۵۲            | ۱,۷۲۲  | ۱,۵۹۳  | ۱,۵۱             | ۱,۲۴۳  | ۱,۲۷۴  | ۱,۶۷۷            | ۱,۶۵۸  | ۱,۶۶۹  | ۱,۳۳۰  | ۱,۷۲۲  | ۱,۷۷۹  | ۱,۵۹۵  |
| CaO                            | ۱,۴۰۰            | ۱,۶۰۵  | ۱,۴۸۵  | ۱,۳۸۰            | ۱,۰۵۹  | ۱,۱۳۲  | ۱,۰۹۶            | ۰,۷۱۰  | ۳,۵۳۶  | ۱,۳۰۷            | ۱,۰۲   | ۰,۷۱۸  | ۱,۹۳۳            | ۲,۰۵۲  | ۲,۰۴۶  | ۱,۱۱۰            | ۱,۲۵۶  | ۲,۰۵۰  | ۱,۹۴۹  | ۱,۰۴۶  | ۱,۱۶۳  | ۱,۰۹۱  |
| Si                             | ۲,۹۷۰            | ۲,۹۵۰  | ۲,۹۶۰  | ۲,۹۶۰            | ۲,۹۴۰  | ۲,۹۷۰  | ۲,۹۵۰            | ۲,۹۶۰  | ۲,۹۵۰  | ۰,۹۴۰            | ۲,۹۷۰  | ۲,۹۵۰  | ۲,۹۶             | ۲,۹۵۰  | ۲,۹۷۰  | ۲,۹۵۰            | ۲,۹۷۰  | ۲,۹۵۰  | ۲,۹۷۰  | ۲,۹۷۰  | ۲,۹۵۰  |        |
| Ti                             | ۰,۰۰۰            | ۰,۰۰۰  | ۰,۰۱۰  | ۰,۰۱۰            | ۰,۰۰۰  | ۰,۰۰۰  | ۰,۰۰۰            | ۰,۰۰۰  | ۰,۰۰۰  | ۰,۰۰۰            | ۰,۰۰۰  | ۰,۰۰۰  | ۰,۰۰۰            | ۰,۰۰۰  | ۰,۰۰۰  | ۰,۰۱۰            | ۰,۰۰۰  | ۰,۰۰۰  | ۰,۰۰۰  | ۰,۰۰۰  | ۰,۰۰۰  |        |
| Al(iv)                         | ۰,۱۳۰            | ۰,۱۵۰  | ۰,۱۴۰  | ۰,۱۴۰            | ۰,۱۴۰  | ۰,۱۴۰  | ۰,۱۴۰            | ۰,۱۴۰  | ۰,۱۴۰  | ۰,۱۴۰            | ۰,۱۴۰  | ۰,۱۴۰  | ۰,۱۴۰            | ۰,۱۴۰  | ۰,۱۴۰  | ۰,۱۴۰            | ۰,۱۴۰  | ۰,۱۴۰  | ۰,۱۴۰  | ۰,۱۴۰  | ۰,۱۴۰  |        |
| Al(vi)                         | ۱,۹۷۰            | ۱,۹۳۰  | ۱,۹۵۰  | ۱,۹۵۰            | ۱,۹۱۰  | ۱,۹۹۰  | ۱,۹۶۰            | ۱,۹۵۰  | ۱,۹۳۰  | ۱,۹۳۰            | ۱,۹۸۰  | ۱,۹۵۰  | ۱,۹۲۰            | ۱,۹۴۰  | ۱,۹۶۰  | ۱,۹۷۰            | ۱,۹۴۰  | ۱,۹۴۰  | ۱,۹۹۰  | ۱,۹۳۰  | ۱,۹۳۰  |        |
| Cr                             | ۰,۰۰۰            | ۰,۰۱۰  | ۰,۰۰۰  | ۰,۰۱۰            | ۰,۰۰۰  | ۰,۰۰۰  | ۰,۰۰۰            | ۰,۰۰۰  | ۰,۰۰۰  | ۰,۰۰۰            | ۰,۰۰۰  | ۰,۰۰۰  | ۰,۰۰۰            | ۰,۰۰۰  | ۰,۰۰۰  | ۰,۰۰۰            | ۰,۰۰۰  | ۰,۰۰۰  | ۰,۰۰۰  | ۰,۰۰۰  | ۰,۰۰۰  |        |
| Fe <sup>2+</sup>               | ۲,۵۴۰            | ۲,۴۸۰  | ۲,۴۶۰  | ۲,۵۳۰            | ۲,۴۴۰  | ۲,۴۴۰  | ۲,۴۴۰            | ۲,۴۴۰  | ۲,۴۴۰  | ۲,۴۴۰            | ۲,۴۴۰  | ۲,۴۴۰  | ۲,۴۴۰            | ۲,۴۴۰  | ۲,۴۴۰  | ۲,۴۴۰            | ۲,۴۴۰  | ۲,۴۴۰  | ۲,۴۴۰  | ۲,۴۴۰  | ۲,۴۴۰  |        |
| Fe <sup>3+</sup>               | ۰,۰۵۰            | ۰,۰۱۰  | ۰,۰۰۰  | ۰,۰۰۰            | ۰,۱۰۰  | ۰,۰۰۰  | ۰,۰۰۰            | ۰,۰۰۰  | ۰,۰۰۰  | ۰,۰۰۰            | ۰,۰۰۰  | ۰,۰۰۰  | ۰,۰۰۰            | ۰,۰۰۰  | ۰,۰۰۰  | ۰,۰۰۰            | ۰,۰۰۰  | ۰,۰۰۰  | ۰,۰۰۰  | ۰,۰۰۰  | ۰,۰۰۰  |        |
| Mn <sup>2+</sup>               | ۰,۱۱۰            | ۰,۱۴۰  | ۰,۱۷۰  | ۰,۱۲۰            | ۰,۱۹۰  | ۰,۰۰۰  | ۰,۳۲۰            | ۰,۳۵۰  | ۰,۰۷۰  | ۰,۰۰۰            | ۰,۱۷۰  | ۰,۰۰۰  | ۰,۳۵۰            | ۰,۰۰۰  | ۰,۳۱   | ۰,۱۸۰            | ۰,۱۶۰  | ۰,۰۰۰  | ۰,۴۱۰  | ۰,۰۷۰  | ۰,۱۷۰  | ۰,۰۲۰  |
| Mg                             | ۰,۲۱۰            | ۰,۲۰۰  | ۰,۲۰۰  | ۰,۲۱۰            | ۰,۱۹۰  | ۰,۲۱۰  | ۰,۱۹۰            | ۰,۱۹۰  | ۰,۱۹۰  | ۰,۱۵             | ۰,۰۰۰  | ۰,۲۱۰  | ۰,۰۰۰            | ۰,۱۸۰  | ۰,۰۰۰  | ۰,۱۸۰            | ۰,۰۰۰  | ۰,۲۱۰  | ۰,۰۰۰  | ۰,۲۰۰  | ۰,۰۰۰  |        |
| Ca                             | ۰,۱۲۰            | ۰,۱۴۰  | ۰,۱۲۰  | ۰,۱۲۰            | ۰,۱۴۰  | ۰,۱۰۰  | ۰,۱۰۰            | ۰,۱۰۰  | ۰,۱۰۰  | ۰,۱۰۰            | ۰,۱۰۰  | ۰,۱۰۰  | ۰,۱۰۰            | ۰,۱۰۰  | ۰,۱۰۰  | ۰,۱۰۰            | ۰,۱۰۰  | ۰,۱۰۰  | ۰,۱۰۰  | ۰,۱۰۰  | ۰,۱۰۰  |        |
| اورارویت                       | ۰,۰۲۰            | ۰,۰۳۱  | --     | ۰,۰۳۰            | ۰,۰۴۰  | ۰,۰۱۲  | ۰,۰۱۰            | ۰,۰۱۶  | ۰,۰۱۰  | ۰,۰۱۷            | ۰,۰۱۰  | ۰,۰۱۳  | ۰,۰۰۵            | ۰,۰۱۰  | --     | ۰,۰۱۰            | ۰,۰۰۰  | ۰,۰۱۳  | --     | ۰,۰۰۰  | ۰,۰۰۰  |        |
| اسپسارتین                      | ۰,۳۵۱            | ۰,۴۷۰  | ۰,۵۷۳  | ۰,۴۰۴            | ۰,۶۷۶  | ۰,۶۷۶  | ۰,۶۷۶            | ۰,۶۷۶  | ۰,۶۷۶  | ۰,۶۷۶            | ۰,۶۷۶  | ۰,۶۷۶  | ۰,۶۷۶            | ۰,۶۷۶  | ۰,۶۷۶  | ۰,۶۷۶            | ۰,۶۷۶  | ۰,۶۷۶  | ۰,۶۷۶  | ۰,۶۷۶  | ۰,۶۷۶  |        |
| پیروپ                          | ۰,۶۸۵            | ۰,۶۸۵  | ۰,۶۸۹  | ۰,۶۸۰            | ۰,۶۸۴  | ۰,۶۹۳  | ۰,۶۸۲            | ۰,۶۸۵  | ۰,۶۸۵  | ۰,۶۸۷            | ۰,۶۸۷  | ۰,۶۸۷  | ۰,۶۸۷            | ۰,۶۸۷  | ۰,۶۸۷  | ۰,۶۸۷            | ۰,۶۸۷  | ۰,۶۸۷  | ۰,۶۸۷  | ۰,۶۸۷  | ۰,۶۸۷  |        |
| الماندین                       | ۰,۸۴۸            | ۰,۸۲۵  | ۰,۸۲۱  | ۰,۸۴۲            | ۰,۸۱۱  | ۰,۸۱۷  | ۰,۸۱۷            | ۰,۸۱۹  | ۰,۸۱۹  | ۰,۸۲۳            | ۰,۸۰۷  | ۰,۸۰۷  | ۰,۸۱۱            | ۰,۸۱۷  | ۰,۸۱۷  | ۰,۸۱۷            | ۰,۸۱۷  | ۰,۸۱۷  | ۰,۸۱۷  | ۰,۸۱۷  | ۰,۸۱۷  |        |
| گروسوولار                      | ۰,۷۲۵            | ۰,۷۲۸  | ۰,۷۲۷  | ۰,۷۲۶            | ۰,۷۱۸  | ۰,۷۱۸  | ۰,۷۱۸            | ۰,۷۱۸  | ۰,۷۱۸  | ۰,۷۱۸            | ۰,۷۱۸  | ۰,۷۱۸  | ۰,۷۱۸            | ۰,۷۱۸  | ۰,۷۱۸  | ۰,۷۱۸            | ۰,۷۱۸  | ۰,۷۱۸  | ۰,۷۱۸  | ۰,۷۱۸  | ۰,۷۱۸  |        |
| أندرادیت                       | ۰,۰۲۷            | ۰,۱۳۸  | ۰,۱۰   | ۰,۰۳۲            | ۰,۲۱۳  | --     | ۰,۰۴۹            | ۰,۱۰   | ۰,۱۰   | ۰,۱۰             | ۰,۱۰   | ۰,۱۰   | ۰,۱۰             | ۰,۱۰   | ۰,۱۰   | ۰,۱۰             | ۰,۱۰   | ۰,۱۰   | ۰,۱۰   | ۰,۱۰   | ۰,۱۰   | ۰,۱۰   |
| الکورلومیت                     | ۰,۰۰۰            | ۰,۰۱۷  | ۰,۰۱۶  | ۰,۰۱۶            | ۰,۰۲۱  | --     | --               | --     | --     | ۰,۰۱۷            | ۰,۰۱۶  | ۰,۰۱۶  | ۰,۰۱۶            | ۰,۰۱۶  | --     | --               | ۰,۰۱۵  | --     | ۰,۰۱۵  | ۰,۰۱۵  | ۰,۰۱۵  |        |
| XPrp                           | ۰,۰۶۹            | ۰,۰۶۷  | ۰,۰۷۰  | ۰,۰۶۹            | ۰,۰۶۶  | ۰,۰۷   | ۰,۰۶۴            | ۰,۰۶۴  | ۰,۰۶۴  | ۰,۰۵۱            | ۰,۰۶۹  | ۰,۰۶۹  | ۰,۰۶۶            | ۰,۰۶۶  | ۰,۰۶۶  | ۰,۰۶۶            | ۰,۰۶۶  | ۰,۰۶۶  | ۰,۰۶۶  | ۰,۰۶۶  | ۰,۰۶۶  |        |
| XSpS                           | ۰,۰۳۶            | ۰,۰۴۸  | ۰,۰۵۸  | ۰,۰۴۱            | ۰,۰۴۶  | ۰,۰۶۸  | ۰,۰۱۰            | ۰,۱۲۶  | ۰,۰۶۹  | ۰,۰۵             | ۰,۰۹۹  | ۰,۱۱۱  | ۰,۰۱۰            | ۰,۰۵   | ۰,۰۵   | ۰,۰۵             | ۰,۰۵   | ۰,۰۵   | ۰,۰۵   | ۰,۰۵   | ۰,۰۵   |        |
| XGrs                           | ۰,۰۴۱            | ۰,۰۴۷  | ۰,۰۴۴  | ۰,۰۴۰            | ۰,۰۴۶  | ۰,۰۳۳  | ۰,۰۳۰            | ۰,۰۲۱  | ۰,۰۱۵  | ۰,۰۲۰            | ۰,۰۳۰  | ۰,۰۲۱  | ۰,۰۱۵            | ۰,۰۲۰  | ۰,۰۲۰  | ۰,۰۲۰            | ۰,۰۲۰  | ۰,۰۲۰  | ۰,۰۲۰  | ۰,۰۲۰  | ۰,۰۲۰  |        |
| XFe                            | ۰,۹۲۵            | ۰,۹۲۶  | ۰,۹۲۳  | ۰,۹۲             |        |        |                  |        |        |                  |        |        |                  |        |        |                  |        |        |        |        |        |        |

بیشکل است که نشان می‌دهند که این بخش از گارنت به احتمال بسیار برای رسیدن به تعادل سریع رشد کرده است. این موضوع با نیمرخ مسطح Ca و Mg در مرکز گارنت ۱ همخوانی دارد و نشان دهنده رشد در دما و فشار محدود است [۳۰]. شکل ۵ پ رشد گارنت ۲ را بهتر نشان می‌دهد، به طوری که مرکز گارنت ۲ با مقدار بسیار کم اسپسارتین (۰/۵۶۵٪؛ جدول ۲) پشتیبانی می‌شود [۳۰].

#### بیوپتیت‌های کلریتی شده

نتایج تجزیه نقطه‌ای ترکیب شیمیایی بیوپتیت‌های کلریتی شده در جدول ۳ ارائه شده‌اند. چنان که دیده می‌شود، مجموع کل اکسیدها (بدون درنظر گرفتن آب) کمتر از ۹۵-۹۶ درصد و مقدار  $K_2O$  نیز کمتر از ۸ درصد است. مجموع کل اکسیدهای موجود در کلریت به جز آب حدود ۸۹ درصد است. پس، این داده‌ها نشان می‌دهند که بیوپتیت‌ها کلریتی شده‌اند. از این رو، شیمی کلریت با استفاده از نرم افزار WinCcac [۱۷] بر پایه ۱۴ اکسیژن ردیابی و تحلیل شد (جدول ۳).

منطقه‌بندی شیمیایی در نمونه‌های گارنت MG<sub>39</sub> و MG<sub>31B</sub> در شکل ۵ نشان داده شده است. چنان که دیده می‌شود، در نمونه MG<sub>31B</sub> گارنت منطقه‌بندی بسیار شدیدی دیده نمی‌شود. از مرکز به سوی لبه، اسپسارتین کاهش می‌یابد، حال آنکه آلماندین افزایش می‌یابد، اما پیروپ، گروسولار و Fe/(Fe+Mg) واقعیت که Fe/(Fe+Mg) منطقه‌بندی شدید ندارد نشان می‌دهد که تغییرات دما طی رشد گارنت کم بوده است [۲۷، ۲۸]. منطقه‌بندی در این گارنت‌ها مانند منطقه‌بندی در گارنت‌های نیوهامپشایر در ایالات متحده آمریکا است [۲۹]. منطقه‌بندی شیمیایی در MG<sub>39</sub> با تغییراتی همراه است به طوری که با وجود یک منطقه‌بندی شیمیایی عادی در گارنت نوع ۱، از مرکز به لبه کسرهای مولی اسپسارتین و گروسولار X<sub>Fe</sub> کاهش و کسرهای مولی آلماندین و پیروپ افزایش یافته و بدون تغییر است البته این روند ادامه نیافته، بلکه در سطحی تقریباً ثابت معادل لبه گارنت نوع ۱ ادامه یافته است و اغلب روندی موازی هم دارند. گارنت ۱ سرشار از میانبارهای کوارتز



شکل ۵ الف تا پ) نیمرخ گارنت در نمونه MG<sub>39</sub>. ت) نیمرخ گارنت در نمونه MG<sub>31B</sub>

جدول ۳ نتایج داده‌های تجزیه نقطه‌ای بیوپتیت‌های کلریتی شده و تعیین فرمول واحد ساختاری به همراه طبقه‌بندی و تعیین شرایط دمایی آن‌ها.

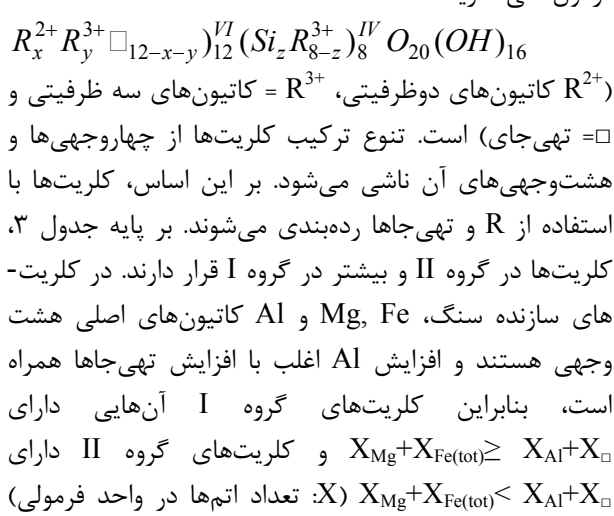
| شماه نمونه (%)<br>SiO <sub>2</sub> | ۲۸     | ۲۹     | ۳۰     | ۳۱     | ۳۲     | ۵۳     | ۵۵     | ۵۶     | ۵۷     | ۵۸     | ۵۹     | ۶۰     | ۶۲     | ۶۳     |
|------------------------------------|--------|--------|--------|--------|--------|--------|--------|--------|--------|--------|--------|--------|--------|--------|
| TiO <sub>2</sub>                   | ۰.۹۱۸  | ۰.۲۳۵  | ۲.۱۵۴  | ۰.۷۸۹  | ۱.۳۰   | ۱.۰۷۹  | ۱.۰۷۹  | ۲.۰۷۸  | ۲.۰۷۸  | ۲.۰۷۸  | ۲.۰۷۸  | ۰.۳۰۸  | ۰.۳۰۸  | ۰.۳۰۸  |
| Al <sub>2</sub> O <sub>3</sub>     | ۲۱.۰۹۱ | ۲۱.۲۸۰ | ۱۹.۵۱۸ | ۱۸.۶۰  | ۱۹.۳۲۶ | ۲.۰۷۱  | ۲.۰۷۱  | ۰.۹۰۹  | ۰.۹۰۹  | ۰.۹۰۹  | ۰.۹۰۹  | ۰.۹۱۳  | ۰.۹۱۳  | ۰.۹۱۳  |
| FeO                                | ۲۷.۴۲۷ | ۳۰.۷۶۶ | ۲۹.۹۷۸ | ۳۰.۵۷۶ | ۲۷.۱۹۵ | ۲.۰۸۰  | ۲.۰۸۰  | ۰.۷۴۶  | ۰.۷۴۶  | ۰.۷۴۶  | ۰.۷۴۶  | ۰.۹۴۴  | ۰.۹۴۴  | ۰.۹۴۴  |
| MnO                                | ۰.۰۳۸  | ۰.۱۰۶  | ۰.۱۲۸  | ۰.۰۵۷  | ۰.۱۰۸  | ۰.۱۲۰  | ۰.۱۱۱  | ۰.۰۸۳  | ۰.۱۳   | ۰.۰۸۸  | ۰.۱۲۰  | ۰.۱۲۲  | ۰.۱۲۶  | ۰.۱۶۳  |
| NiO                                | ۰.۰۲   | ۰.۰۳۸  | ۰.۰۳۵  | ۰.۰۳۴  | ۰.۰۴۲  | ۰.۰۰۰  | ۰.۰۳۵  | ۰.۰۶۴  | ۰.۰۴۲  | ۰.۰۴۱  | ۰.۰۴۸  | ۰.۰۰۴  | ۰.۰۵۳  | ۰.۰۷۰  |
| MgO                                | ۶.۶۶۴  | ۷.۲۲۹  | ۶.۶۵۸  | ۶.۱۵۶  | ۶.۱۶۹  | ۷.۶۷۶  | ۸.۸۱۷  | ۸.۱۱۶  | ۸.۰۹۹  | ۷.۸۳۹  | ۹.۰۰۴  | ۹.۲۶۳  | ۸.۱۳۹  | ۸.۱۴۴  |
| CaO                                | ۰.۰۴۷  | ۰.۰۷۴  | ۰.۰۳۲  | ۰.۰۲۶  | ۰.۰۵۷  | ۰.۰۰۰  | ۰.۰۱۸  | ۰.۰۶۲  | ۰.۰۲۱  | ۰.۰۰۹  | ۰.۰۸۱  | ۰.۰۱۰  | ۰.۰۶۶  | ۰.۰۷۰  |
| Na <sub>2</sub> O                  | ۰.۷۴   | ۰.۰۸۸  | ۰.۰۷۶  | ۰.۱۷۸  | ۰.۰۸۴  | ۰.۲۱۳  | ۰.۰۹۷  | ۰.۱۴۴  | ۰.۱۰۵  | ۰.۱۶۱  | ۰.۰۱۷  | ۰.۱۱۲  | ۰.۱۹۴  | ۰.۱۸۲  |
| K <sub>2</sub> O                   | ۲۴.۴۲۲ | ۰.۳۷۸  | ۲.۰۸۰  | ۲۳.۰   | ۰.۵۶۳  | ۳.۹۸۰  | ۲.۰۸۳  | ۳.۱۶۲  | ۲.۹۶۶  | ۴.۱۳۷  | ۰.۹۶۰  | ۱.۲۳۰  | ۲.۶۲۸  | ۱.۹۹۰  |
| F                                  | ۰.۷۹۱  | ۰.۰۱۹  | ۰.۲۳۲  | ۰.۰۷۶  | ۰.۲۶۰  | ۰.۱۴۱  | ۰.۴۰۶  | ۰.۳۷۵  | ۰.۳۱۷  | ۰.۴۱   | ۰.۰۰۰  | ۰.۱۵۴  | ۰.۱۳۹  | ۰.۱۱۷  |
| Cl                                 | ۰.۰۲۰  | ۰.۰۰۴  | ۰.۰۱۷  | ۰.۰۱۰  | ۰.۰۴۹  | ۰.۰۰۵  | ۰.۰۴۷  | ۰.۰۴۹  | ۰.۰۴۸  | ۰.۰۴۸  | ۰.۰۴۸  | ۰.۰۲۵  | ۰.۰۳۶  | ۰.۰۵۱  |
| O=F                                | ۰.۱۲۳  | ۰.۰۰۸  | ۰.۰۹۸  | ۰.۰۳۲  | ۰.۱۱۰  | ۰.۰۵۹  | ۰.۱۷۱  | ۰.۱۵۸  | ۰.۱۴۲  | ۰.۱۶۹  | ۰.۰۰۰  | ۰.۰۵۰  | ۰.۰۴۹  | ۰.۰۴۹  |
| O=Cl                               | ۰.۰۰۵  | ۰.۰۰۱  | ۰.۰۰۴  | ۰.۰۰۲  | ۰.۰۱۱  | ۰.۰۰۶  | ۰.۰۱   | ۰.۰۱   | ۰.۰۱   | ۰.۰۱   | ۰.۰۰۴  | ۰.۰۰۶  | ۰.۰۰۸  | ۰.۰۱۲  |
| مجموع (%)                          | ۸۷.۵۱  | ۸۶.۲۸۱ | ۸۸.۸۲۲ | ۸۶.۷۵۷ | ۹۱.۱۸۳ | ۸۹.۹۴۸ | ۸۸.۷۷۰ | ۸۸.۷۷۶ | ۸۸.۰۴  | ۹۰.۲۱۱ | ۸۷.۲۷۷ | ۸۶.۸۱۶ | ۸۷.۳۳۷ | ۸۷.۱۳۲ |
| [H <sub>2</sub> O(c)]              | ۱۱.۰۳  | ۱.۰۷۸۷ | ۱.۰۹۹۴ | ۱.۰۷۷۹ | ۱۱.۳۲۸ | ۱۱.۴۴۵ | ۱۱.۰۲۲ | ۱۱.۰۹۸ | ۱۱.۱۰۸ | ۱۱.۳۰۶ | ۱۱.۰۴۲ | ۱.۰۹۲۷ | ۱۱.۱۰۳ | ۱۱.۰۰۸ |
| FeO(c)(%)                          | ۲۷.۴۳۷ | ۳.۰۷۶۶ | ۲۹.۹۴۸ | ۰.۰۰۰  | ۰.۰۰۰  | ۰.۰۰۰  | ۰.۰۰۰  | ۰.۰۰۰  | ۰.۰۰۰  | ۰.۰۰۰  | ۰.۰۰۰  | ۰.۰۰۰  | ۰.۰۰۰  | ۰.۰۰۰  |
| (apfu)Si                           | ۳.۶۷   | ۲.۸۶   | ۲.۸۶   | ۲.۹۷۳  | ۳.۰۷۳  | ۳.۲۴۵  | ۳.۱۳۴  | ۲.۹۴   | ۳.۰۶۲  | ۳.۰۲   | ۳.۱۶۶  | ۲.۷۸۱  | ۲.۸۶   | ۳.۷    |
| Ti                                 | ۰.۰۷۴  | ۰.۰۲۸  | ۰.۱۷۵  | ۰.۰۶۸  | ۰.۱۰   | ۰.۱۴۲  | ۰.۰۸۷  | ۰.۱۴۲  | ۰.۱۰۷  | ۰.۱۴۲  | ۰.۱۲۳  | ۰.۰۵۶  | ۰.۱۱۴  | ۰.۰۷۶  |
| Al                                 | ۲.۶۶۷  | ۲.۷۶۳  | ۲.۸۴۳  | ۲.۴۴۰  | ۲.۳۷۸  | ۲.۴۹   | ۲.۶۰۰  | ۲.۵۰۹  | ۲.۵۰۵  | ۲.۴۹۰  | ۲.۷۸۵  | ۲.۷۸۴  | ۲.۶۵۹  | ۲.۶۸۱  |
| Fe(2+)                             | ۲.۶۶۲  | ۲.۸۳۴  | ۲.۷۰۴  | ۲.۸۳۷  | ۲.۳۷۵  | ۲.۲۰۵  | ۲.۵۲۴  | ۲.۳۶۶  | ۲.۳۷   | ۲.۲۸۰  | ۲.۶۹۱  | ۲.۷۸۷  | ۲.۲۸۱  | ۲.۲۹۱  |
| Mn                                 | ۰.۰۰۴  | ۰.۰۱۰  | ۰.۰۱۲  | ۰.۰۰۵  | ۰.۰۱۰  | ۰.۰۱۱  | ۰.۰۱   | ۰.۰۱   | ۰.۰۱   | ۰.۰۱   | ۰.۰۱   | ۰.۰۱   | ۰.۰۱۱  | ۰.۰۱۵  |
| Ni                                 | ۰.۰۰۷  | ۰.۰۰۳  | ۰.۰۰۳  | ۰.۰۰۴  | ۰.۰۰۴  | ۰.۰۰۰  | ۰.۰۰۳  | ۰.۰۰۶  | ۰.۰۰۴  | ۰.۰۰۳  | ۰.۰۰۴  | ۰.۰۰۵  | ۰.۰۰۵  | ۰.۰۰۶  |
| Mg                                 | ۱.۰۶۶  | ۱.۱۸۷  | ۱.۰۷۱  | ۱.۰۱۷  | ۰.۹۶   | ۱.۱۹۲  | ۱.۰۴۰  | ۱.۲۸۰  | ۱.۲۸۰  | ۱.۱۸۶  | ۱.۰۴۸  | ۱.۰۵   | ۱.۲۹۶  | ۱.۲۶۰  |
| Ca                                 | ۰.۰۰۰  | ۰.۰۰۹  | ۰.۰۰۴  | ۰.۰۰۰  | ۰.۰۰۲  | ۰.۰۰۶  | ۰.۰۰۵  | ۰.۰۰۷  | ۰.۰۰۲  | ۰.۰۰۷  | ۰.۰۰۱  | ۰.۰۰۷  | ۰.۰۰۸  | ۰.۰۰۸  |
| Na                                 | ۰.۱۵   | ۰.۰۱۹  | ۰.۰۱۶  | ۰.۰۳۸  | ۰.۰۱۷  | ۰.۰۴۳  | ۰.۰۲۰  | ۰.۰۳۰  | ۰.۰۲۲  | ۰.۰۳۰  | ۰.۰۴۴  | ۰.۰۲۴  | ۰.۰۳۰  | ۰.۰۳۸  |
| K                                  | ۰.۳۳۲  | ۰.۰۵۳  | ۰.۳۰۰  | ۰.۳۲۶  | ۰.۷۵   | ۰.۰۳۰  | ۰.۲۸۷  | ۰.۴۲۸  | ۰.۱۳۹  | ۰.۱۲۹  | ۰.۱۰۹  | ۰.۱۳۵  | ۰.۰۴۰  | ۰.۰۴۱  |
| F                                  | ۰.۱۲   | ۰.۰۰۷  | ۰.۰۸۱  | ۰.۰۲۷  | ۰.۰۸۷  | ۰.۰۴۸  | ۰.۱۳۹  | ۰.۱۲۹  | ۰.۱۰۹  | ۰.۱۳۹  | ۰.۰۰۰  | ۰.۰۰۳  | ۰.۰۰۷  | ۰.۰۱۰  |
| Cl                                 | ۰.۰۰۴  | ۰.۰۱   | ۰.۰۰۳  | ۰.۰۰۲  | ۰.۰۰۲  | ۰.۰۰۰  | ۰.۰۰۵  | ۰.۰۰۵  | ۰.۰۰۵  | ۰.۰۰۵  | ۰.۰۰۳  | ۰.۰۰۵  | ۰.۰۰۷  | ۰.۰۱۰  |
| OH(apfu)                           | ۷.۸۹۴  | ۷.۹۹۳  | ۷.۹۱۶  | ۷.۹۷۱  | ۷.۹۷۴  | ۷.۹۴۸  | ۷.۸۰۵  | ۷.۸۶۳  | ۷.۸۸۷  | ۷.۸۰۷  | ۷.۹۹۷  | ۷.۹۹۷  | ۷.۹۷۰  | ۷.۹۰۰  |
| [Si]                               | ۳.۶۷   | ۲.۸۶   | ۲.۸۶   | ۲.۹۷۳  | ۳.۰۷۳  | ۳.۲۴۵  | ۳.۱۳۴  | ۲.۹۴   | ۳.۰۶۲  | ۳.۰۲   | ۳.۱۶۶  | ۲.۷۸۱  | ۲.۸۶   | ۳.۷    |
| Al(IV)                             | ۰.۹۳۳  | ۱.۱۴   | ۱.۰۲۷  | ۰.۹۲۷  | ۰.۷۵۵  | ۰.۸۶   | ۱.۰۹۶  | ۰.۹۳۸  | ۰.۹۷   | ۰.۸۳۴  | ۱.۲۰۹  | ۱.۱۹۴  | ۰.۹۳۰  | ۱.۰۰   |
| مجموع چاروچی                       | ۴.۰۰   | ۴.۰۰   | ۴.۰۰   | ۴.۰۰   | ۴.۰۰   | ۴.۰۰   | ۴.۰۰   | ۴.۰۰   | ۴.۰۰   | ۴.۰۰   | ۴.۰۰   | ۴.۰۰   | ۴.۰۰   | ۴.۰۰   |
| [Al(VI)]                           | ۱.۷۳۴  | ۱.۸۴۴  | ۱.۴۵۶  | ۱.۰۴   | ۱.۶۲۳  | ۱.۶۲۴  | ۱.۰۴   | ۱.۵۲۴  | ۱.۰۵۱  | ۱.۰۵۵  | ۱.۶۱۱  | ۱.۹۴۷  | ۱.۵۱   | ۱.۸۲۰  |
| Ti                                 | ۰.۷۴   | ۰.۰۲۸  | ۰.۱۷۵  | ۰.۰۶۶  | ۰.۱۰   | ۰.۱۲۴  | ۰.۰۸۷  | ۰.۱۰   | ۰.۱۰   | ۰.۱۲۴  | ۰.۰۰۶  | ۰.۱۱۴  | ۰.۰۷۶  | ۰.۰۷۶  |
| Fe <sup>2+</sup>                   | ۲.۶۶۴  | ۲.۸۳۴  | ۲.۷۰۴  | ۲.۸۳۷  | ۲.۳۷۵  | ۲.۲۰۵  | ۲.۰۷۲  | ۲.۳۶۶  | ۲.۳۶۶  | ۲.۳۷   | ۲.۲۶۰  | ۲.۷۸۱  | ۲.۷۸۱  | ۲.۷۹۱  |
| Mn                                 | ۰.۰۰۴  | ۰.۰۱۰  | ۰.۰۱۲  | ۰.۰۰۵  | ۰.۰۱۰  | ۰.۰۱۱  | ۰.۰۱   | ۰.۰۱   | ۰.۰۱   | ۰.۰۱   | ۰.۰۱۱  | ۰.۰۱   | ۰.۰۱۰  | ۰.۰۱۰  |
| Ni                                 | ۰.۰۰۷  | ۰.۰۰۳  | ۰.۰۰۳  | ۰.۰۰۴  | ۰.۰۰۴  | ۰.۰۰۰  | ۰.۰۰۳  | ۰.۰۰۶  | ۰.۰۰۴  | ۰.۰۰۳  | ۰.۰۰۴  | ۰.۰۰۵  | ۰.۰۰۶  | ۰.۰۰۶  |
| Mg                                 | ۱.۰۶۶  | ۱.۱۸۷  | ۱.۰۷۱  | ۱.۰۱۷  | ۰.۹۶   | ۱.۱۹۲  | ۱.۰۴   | ۱.۲۸۰  | ۱.۲۸۰  | ۱.۱۸۶  | ۱.۰۴۸  | ۱.۰۵   | ۱.۲۹۶  | ۱.۲۶۰  |
| مجموع هشت                          | ۵.۷۴۷  | ۵.۲۶۸  | ۵.۴۲۱  | ۵.۴۳۲  | ۵.۰۷۴  | ۵.۰۲۶  | ۵.۰۴۸  | ۵.۳۴۱  | ۵.۳۶۵  | ۵.۱۹۶  | ۵.۷۸۶  | ۵.۷۸۱  | ۵.۲۳۶  | ۵.۰۰۶  |
| تهی جای هشت                        | ۰.۶۵۴  | ۰.۲۱۴  | ۰.۵۷۹  | ۰.۵۶۸  | ۰.۹۲۶  | ۰.۷۹۴  | ۰.۴۵۲  | ۰.۶۵۹  | ۰.۶۳۵  | ۰.۸۴   | ۰.۲۴۵  | ۰.۳۲۹  | ۰.۶۷۴  | ۰.۴۹۴  |
| [Ca]                               | ۰.۰۰۵  | ۰.۰۰۹  | ۰.۰۰۴  | ۰.۰۰۰  | ۰.۰۰۰  | ۰.۰۰۰  | ۰.۰۰۰  | ۰.۰۰۰  | ۰.۰۰۰  | ۰.۰۰۰  | ۰.۰۰۰  | ۰.۰۰۰  | ۰.۰۰۰  | ۰.۰۰۰  |
| Na                                 | ۰.۱۵   | ۰.۰۱۹  | ۰.۰۱۶  | ۰.۰۳۸  | ۰.۰۱۷  | ۰.۰۴۳  | ۰.۰۰۰  | ۰.۰۰۰  | ۰.۰۰۰  | ۰.۰۰۰  | ۰.۰۰۰  | ۰.۰۰۰  | ۰.۰۰۰  | ۰.۰۰۰  |
| K                                  | ۰.۳۳۲  | ۰.۰۵۳  | ۰.۳۰۰  | ۰.۳۲۶  | ۰.۷۵   | ۰.۰۳۰  | ۰.۰۳   | ۰.۲۸۷  | ۰.۴۲۳  | ۰.۰۰۰  | ۰.۱۷۴  | ۰.۲۰۰  | ۰.۳۰۰  | ۰.۳۷۵  |
| مجموع                              | ۰.۳۵۲  | ۰.۰۱   | ۰.۲۷۵  | ۰.۳۹۶  | ۰.۷۷۴  | ۰.۵۷۷  | ۰.۰۳   | ۰.۴۶۰  | ۰.۴۲۷  | ۰.۰۱   | ۰.۱۷۴  | ۰.۰۲۰  | ۰.۳۰۰  | ۰.۲۲۱  |
| [OH]                               | ۷.۸۹۴  | ۷.۹۹۳  | ۷.۹۱۶  | ۷.۹۷۱  | ۷.۹۷۴  | ۷.۹۴۸  | ۷.۸۰۵  | ۷.۸۰۵  | ۷.۸۰۷  | ۷.۸۰۷  | ۷.۹۹۷  | ۷.۹۹۷  | ۷.۹۴۲  | ۷.۹۴۰  |
| F                                  | ۰.۱۲   | ۰.۰۰۷  | ۰.۰۱۱  | ۰.۰۲۷  | ۰.۰۱۷  | ۰.۰۴۸  | ۰.۱۳۹  | ۰.۱۲۹  | ۰.۱۰۹  | ۰.۱۳۵  | ۰.۰۰۰  | ۰.۰۴۰  | ۰.۰۴۱  | ۰.۰۴۱  |
| Cl                                 | ۰.۰۰۴  | ۰.۰۰۱  | ۰.۰۰۳  | ۰.۰۰۲  | ۰.۰۰۹  | ۰.۰۰۰  | ۰.۰۰۶  | ۰.۰۰۹  | ۰.۰۰۵  | ۰.۰۰۸  | ۰.۰۰۰  | ۰.۰۰۵  | ۰.۰۰۷  | ۰.۰۱۰  |
| مجموع                              | ۸.۰۰   | ۸.۰۰   | ۸.۰۰   | ۸.۰۰   | ۸.۰۰   | ۸.۰۰   | ۸.۰۰   | ۸.۰۰   | ۸.۰۰   | ۸.۰۰   | ۸.۰۰   | ۸.۰۰   | ۸.۰۰   | ۸.۰۰   |
| [Si(T)]                            | ۲.۱۳۴  | ۱.۷۲۱  | ۱.۹۴۷  | ۱.۱۴۷  | ۲.۴۹   | ۲.۲۶۸  | ۱.۸۰۸  | ۲.۱۲۳  | ۲.۰۰۵  | ۲.۲۳۲  | ۱.۸۴۲  | ۱.۶۱۳  | ۲.۱۴۱  | ۱.۹۰۱  |
| Al(T)                              | -۰.۹۳  | ۱.۱۴   | ۱.۰۲۷  | ۰.۹۲۷  | ۰.۷۵۵  | ۰.۸۶۵  | ۱.۰۹   | -۰.۹۳۱ | -۰.۹۷۹ | -۰.۸۴  | ۱.۲۰۹  | ۱.۱۹۴  | -۰.۹۳  | ۱.۰۰   |
| Si(T2)                             | -۰.۹۳۴ | ۱.۱۴   | ۱.۰۲۷  | ۰.۹۲۷  | ۰.۷۵۵  | ۰.۸۶۵  | ۱.۰۹   | -۰.۹۳۱ | -۰.۹۷۹ | -۰.۸   |        |        |        |        |

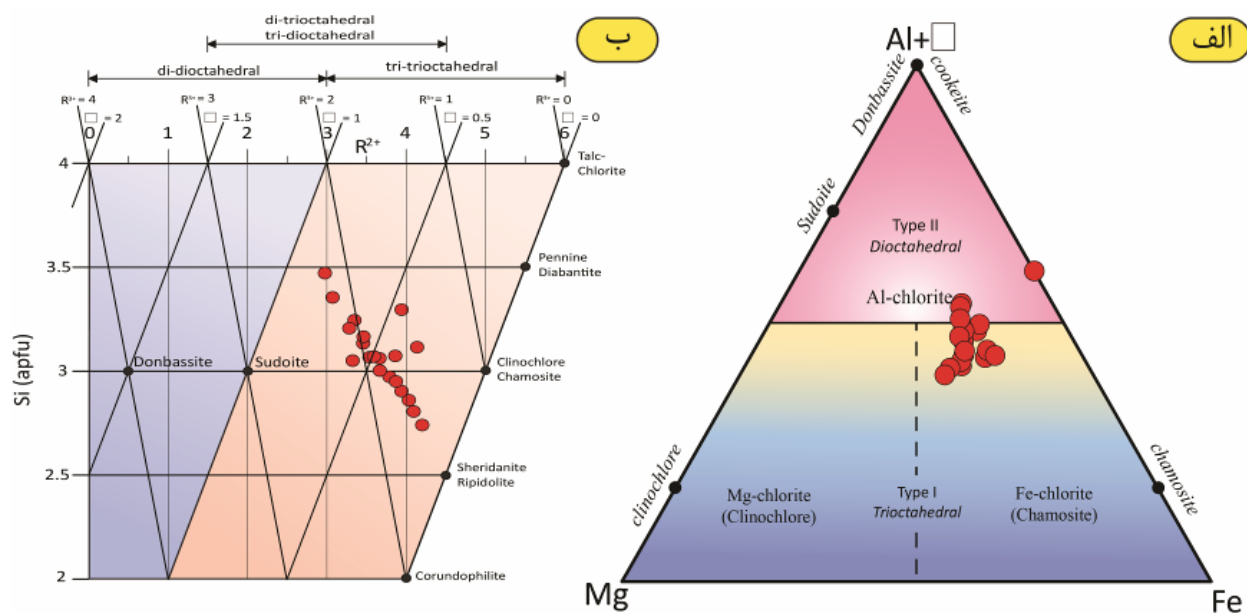
ادامه جدول ۳

| No. Samples        | ۲۸          | ۲۹          | ۳۰          | ۳۱          | ۳۲          | ۵۳          | ۵۵          | ۵۶          | ۵۷          | ۵۸          | ۵۹          | ۶۰          | ۶۲          | ۶۳          |
|--------------------|-------------|-------------|-------------|-------------|-------------|-------------|-------------|-------------|-------------|-------------|-------------|-------------|-------------|-------------|
| XFe(M2M3)          | -۰.۵۹۳      | -۰.۶۲۲      | -۰.۶۴۳      | -۰.۶۷۳      | -۰.۶۵۸      | -۰.۵۸۳      | -۰.۵۹۶      | -۰.۵۸۵      | -۰.۵۸۱      | -۰.۵۸۴      | -۰.۵۹۷      | -۰.۵۹۱      | -۰.۵۵۵      | -۰.۵۹۱      |
| XMg(M2M3)          | -۰.۲۵۷      | -۰.۲۶۱      | -۰.۲۵۵      | -۰.۲۴۱      | -۰.۲۶۶      | -۰.۳۰۸      | -۰.۳۲۲      | -۰.۳۱۸      | -۰.۳۱۵      | -۰.۳۰۶      | -۰.۳۵۰      | -۰.۳۴۵      | -۰.۳۱۵      | -۰.۳۲۳      |
| XAl(M2M3)          | -۰.۱۵۱      | -۰.۱۱۷      | -۰.۱۰۲      | -۰.۰۸۶      | -۰.۰۷۶      | -۰.۱۰۸      | -۰.۰۷۳      | -۰.۰۹۷      | -۰.۱۰۴      | -۰.۱۱۰      | -۰.۰۵۳      | -۰.۰۶۴      | -۰.۱۲۰      | -۰.۱۸۷      |
| XFe(M1)            | -۰.۳۴۴      | -۰.۴۱۱      | -۰.۴۱۰      | -۰.۴۴۴      | -۰.۴۰۴      | -۰.۳۷       | -۰.۳۴۶      | -۰.۳۴۵      | -۰.۳۳۲      | -۰.۳۱۹      | -۰.۳۴۹      | -۰.۳۴۸      | -۰.۳۴۶      | -۰.۴۴۹      |
| XMg(M1)            | -۰.۱۴۹      | -۰.۱۷۲      | -۰.۱۶۳      | -۰.۱۵۹      | -۰.۱۲۳      | -۰.۱۶۲      | -۰.۱۹۲      | -۰.۱۸۲      | -۰.۱۸۰      | -۰.۱۶۷      | -۰.۲۰۴      | -۰.۲۰۳      | -۰.۱۹۱      | -۰.۱۹۰      |
| XAl(M1)            | -۰.۲۰۶      | -۰.۱۸۴      | -۰.۲۲۳      | -۰.۲۲۵      | -۰.۴۲۰      | -۰.۳۱۴      | -۰.۳۱۶      | -۰.۲۹۰      | -۰.۲۸۰      | -۰.۲۹۳      | -۰.۳۴۰      | -۰.۳۲۲      | -۰.۲۱۵      | -۰.۲۸۷      |
| XVacancy(M1)]      | -۰.۳۰۱      | -۰.۲۲۴      | -۰.۲۰۴      | -۰.۱۷۲      | -۰.۱۵۳      | -۰.۲۱۷      | -۰.۱۴۶      | -۰.۱۹۴      | -۰.۲۰۹      | -۰.۲۲۰      | -۰.۱۰۶      | -۰.۱۲۷      | -۰.۲۵۹      | -۰.۱۷۴      |
| [Si]               | ۳.۰۶۷       | ۲.۸۶۰       | ۲.۹۷۳       | ۳.۰۷۳       | ۳.۲۴۵       | ۳.۱۳۴       | ۲.۹۰۴       | ۳.۰۶۲       | ۳.۰۰۳       | ۳.۱۶۶       | ۲.۷۴۱       | ۲.۸۰۶       | ۳.۰۷۰       | ۲.۹۵۱       |
| Fe/(Fe+Mg)         | -۰.۶۹۸      | -۰.۷۰۵      | -۰.۷۱۶      | -۰.۷۳۶      | -۰.۷۱۲      | -۰.۶۵۴      | -۰.۶۴۳      | -۰.۶۴۸      | -۰.۶۴۸      | -۰.۶۵۶      | -۰.۶۳۱      | -۰.۶۲۲      | -۰.۶۳۸      | -۰.۶۴۷      |
| Fe(total)          | ۲.۴۶۲       | ۲.۸۳۴       | ۲.۷۰۴       | ۲.۸۳۷       | ۲.۳۷۵       | ۲.۲۵۵       | ۲.۵۲۴       | ۲.۳۶۶       | ۲.۳۷۰       | ۲.۲۶۵       | ۲.۴۶۱       | ۲.۵۷۸       | ۲.۲۸۱       | ۲.۴۹۱       |
| جمعیت هشت وجهی     | ۵۳۴۷        | ۵۶۸۶        | ۵۴۲۱        | ۵۴۴۲        | ۵۰۷۶        | ۵۲۰۶        | ۵۰۴۸        | ۵۰۴۱        | ۵۰۳۶۵       | ۵۰۱۹۶       | ۵۷۵۶        | ۵۶۷۱        | ۵۳۲۶        | ۵۰۵۶        |
| تنهی جای           | -۰.۶۵۴      | -۰.۳۱۴      | -۰.۵۷۹      | -۰.۵۶۸      | -۰.۹۲۶      | -۰.۷۹۴      | -۰.۴۵۲      | -۰.۸۵۹      | -۰.۶۳۵      | -۰.۸۰۴      | -۰.۲۴۵      | -۰.۳۷۹      | -۰.۶۷۴      | -۰.۴۹۴      |
| (XAl+XVacancy)     | ۳.۳۲۱       | ۳.۰۷۸       | ۳.۰۶۲       | ۲.۹۹۸       | ۲.۳۰۵       | ۳.۲۸۴       | ۳.۰۷۲       | ۳.۱۶۸       | ۳.۱۸۷       | ۳.۲۴۹       | ۳.۰۰۱       | ۳.۰۳۳       | ۳.۲۲۳       | ۳.۱۰۳       |
| (Fe۲+Mg)           | ۳.۵۲۸       | ۴.۰۲۱       | ۳.۷۷۵       | ۳.۸۵۴       | ۳.۳۳۵       | ۳.۴۴۷       | ۳.۹۲۸       | ۳.۶۵۱       | ۳.۶۵۵       | ۳.۴۵۱       | ۴.۱۸۷       | ۴.۰۸۳       | ۳.۵۷۷       | ۳.۸۵۰       |
| R2+                | ۳.۵۲۸       | ۴.۰۲۴       | ۲.۷۹۰       | ۲.۸۶۳       | ۳.۳۴۸       | ۳.۴۵۸       | ۳.۹۴۱       | ۳.۶۶۴       | ۳.۶۶۸       | ۳.۴۶۳       | ۴.۲۰۳       | ۴.۰۹۴       | ۳.۵۹۳       | ۳.۸۷۱       |
| R3+]               | ۱.۸۰۸       | ۱.۶۵۱       | ۱.۶۳۱       | ۱.۵۷۰       | ۱.۷۲۶       | ۱.۷۴۸       | ۱.۶۰۸       | ۱.۶۷۷       | ۱.۶۹۷       | ۱.۷۳۴       | ۱.۵۵۳       | ۱.۵۷۷       | ۱.۷۲۳       | ۱.۶۴۴       |
| [Al/(Al+Mg+Fe۲+)]  | -۰.۴۳۱      | -۰.۴۰۷      | -۰.۳۹۷      | -۰.۳۸۷      | -۰.۴۱۶      | -۰.۴۱۹      | -۰.۴۰۰      | -۰.۴۰۷      | -۰.۴۱۱      | -۰.۴۱۵      | -۰.۳۹۷      | -۰.۳۹۸      | -۰.۴۱۶      | -۰.۴۰۴      |
| Mg(Mg۲++Fe۲+)      | -۰.۳۰۲      | -۰.۲۹۵      | -۰.۲۸۵      | -۰.۲۶۶      | -۰.۲۸۸      | -۰.۳۴۶      | -۰.۳۵۸      | -۰.۳۵۲      | -۰.۳۵۲      | -۰.۳۴۴      | -۰.۳۶۹      | -۰.۳۶۹      | -۰.۳۶۲      | -۰.۳۵۳      |
| AlVI(Si+AlIV)]     | -۰.۲۲۳      | -۰.۲۸۵      | -۰.۲۵۷      | -۰.۲۲۲      | -۰.۱۸۹      | -۰.۲۱۶      | -۰.۲۷۴      | -۰.۲۲۵      | -۰.۲۴۹      | -۰.۲۰۹      | -۰.۳۱۵      | -۰.۲۹۸      | -۰.۲۲۲      | -۰.۲۶۲      |
| %[Al-chl]          | ۲۵.۳۴۳      | ۲۴.۴۷۶      | ۲۳.۷۲۳      | ۲۲.۶۸۰      | ۲۲.۹۸۴      | ۲۴.۴۶۶      | ۲۴.۰۲۹      | ۲۴.۰۲۴      | ۲۴.۴۹۳      | ۲۴.۱۴۹      | ۲۴.۲۴۳      | ۲۴.۱۷۳      | ۲۴.۵۲۷      | ۲۴.۱۱۱      |
| Fe-chl             | ۵۴.۳۹۹      | ۵۴.۴۹۴      | ۵۵.۷۸۷      | ۵۶.۳۲۱      | ۵۶.۶۴۹      | ۵۱.۹۴۶      | ۵۰.۲۱۵      | ۵۱.۳۶۶      | ۵۰.۱۸۱      | ۵۲.۴۱۵      | ۴۸.۵۵۲      | ۴۸.۹۲۶      | ۵۰.۵۳۶      | ۵۰.۷۸۴      |
| Mg-chl]            | ۲۰.۲۵۷      | ۲۱.۰۳۰      | ۲۰.۴۸۱      | ۱۸.۹۸۹      | ۱۹.۳۶۸      | ۲۲.۵۰۸      | ۲۵.۷۵۶      | ۲۴.۶۱۰      | ۲۴.۶۶۶      | ۲۳.۴۳۷      | ۲۷.۲۰۶      | ۲۶.۹۰۱      | ۲۴.۹۳۷      | ۲۵.۱۳۶      |
| کلینوکلر           | ۳۰.۱۸۵      | ۲۹.۴۴۸      | ۲۸.۲۹۵      | ۲۶.۴۲۱      | ۲۸.۷۱۱      | ۳۴.۴۷۴      | ۳۵.۶۶۰      | ۳۵.۱۲۲      | ۳۵.۰۶۹      | ۳۴.۲۹۷      | ۳۶.۸۳۴      | ۳۶.۷۵۱      | ۳۶.۱۱۲      | ۳۵.۱۷۶      |
| Chamosite          | ۶۹.۷۱۷      | ۷۰.۳۰۷      | ۷۱.۳۹۶      | ۷۳.۵۰۰      | ۷۱.۰۰۳      | ۶۵.۲۲۰      | ۶۴.۰۸۵      | ۶۴.۶۷۳      | ۶۴.۶۷۸      | ۶۵.۴۷۸      | ۶۲.۹۰۴      | ۶۲.۹۷۴      | ۶۳.۵۷۰      | ۶۴.۴۳۷      |
| Pennantite]        | -۰.۰۹۸      | -۰.۲۴۵      | -۰.۳۰۹      | -۰.۱۳۹      | -۰.۲۸۷      | -۰.۳۰۶      | -۰.۲۵۵      | -۰.۲۰۴      | -۰.۲۵۳      | -۰.۲۲۵      | -۰.۲۶۳      | -۰.۲۷۵      | -۰.۳۱۸      | -۰.۳۸۷      |
| زیرگروه(R)         | tri-tri     |
| Subgroup (Vacancy) | tri-tri     |
| نوع                | Type-I      |
| [۳۱]               | Al chlorite | Fe chlorite | Fe chlorite | Fe chlorite | Al chlorite |
| [۳۲]               | Chamosite   |
| [۳۴]               | Chamosite   |
| TKML87-AlIV(°C)    | ۲۶۸         | ۳۱۲         | ۲۸۹         | ۲۶۹         | ۲۳۱         | ۲۵۰         | ۲۹۸         | ۲۶۵         | ۲۷۸         | ۲۴۴         | ۳۲۲         | ۳۱۸         | ۲۶۲         | ۲۸۸         |
| TC88-AlIV(°C)      | ۲۳۸         | ۳۰۵         | ۲۶۹         | ۲۳۶         | ۱۸۱         | ۲۱۷         | ۲۹۱         | ۲۴۰         | ۲۵۹         | ۲۰۷         | ۳۴۳         | ۳۲۲         | ۲۳۷         | ۲۷۶         |

هستند [۳۱] و براساس رده بندی مرجع [۳۲]، کلریت‌های گیسور در گستره آهن و آلومینیم‌دار قرار دارند (شکل ۶ الف). آنها بر اساس نمودار  $X_{\text{Mg}}-\text{R}^{2+}$  [۳۲] و نمودار سامانه متحده  $\text{R}^{2+}-\text{Si}$  [۳۳] در زیرگروه سه-سه-دو و یا دو-سه هشت وجهی (شکل ۶ ب) و در گستره شاموزیت تا سدؤئیت [۳۳]، در گروه می‌شوند. این دو گروه در سنگ‌های دگرگونی با ترکیبات و شرایط دما-فشار مختلف ایجاد می‌شوند. کلریت‌های نوع II از متاپلیت‌های دما پایین/فشار متوسط هستند و در متاپلیت‌های غنی از Al تشکیل می‌شوند و کلریت‌های نوع I از متاپلیت‌های فشار پایین هستند و با Bt+Grt در دمای پایین و با Bt+Grt+St در رخساره آمفیبولیت همزیست هستند [۳۱].

### فرمول کلی کلریت‌ها





شکل ۶(الف) نمونه‌های کلریت گیسیور که در هر دو گروه I و II قرار دارند [۳۱]. ب) نمونه‌های کلریت گیسیور که زیرگروه سه- سه / سه - دو و یا دو- سه هشت وجهی هستند [۳۳].

تا ۹۰/۷۷ درصد تغییر می‌کند، بنابراین استارولیت آهن‌دار است [۲۴]. این داده‌ها نشان می‌دهند که استارولیت آهن‌دار می‌تواند در محیط دگرگونی که آندالوزیت تشکیل می‌شود به وجود آید [۲۴].

**استارولیت**  
فرمول ساختاری استارولیت بر اساس ۴۶ اکسیژن محاسبه شد (جدول ۴). بر پایه نتایج تجزیه نقطه‌ای مقدار ZnO کمتر از ۷/۴ Wt% است. بنابراین آن‌ها در رده استارولیت‌های روی‌دار قرار ندارند [۳۵]. مقدار ۸۸/۴۹ Fe\*100/(Fe+Mg+Mn) بین

جدول ۴ نتایج تجزیه نقطه‌ای استارولیت و محاسبه فرمول ساختاری آن.

| شماره نمونه                    | ۱       | ۲       | ۳       | ۴       | ۵       | ۶       | ۷       | ۸       |
|--------------------------------|---------|---------|---------|---------|---------|---------|---------|---------|
| SiO <sub>2</sub>               | ۲۷/۷۰   | ۲۷/۰۳۳  | ۲۷/۶۷۷  | ۲۷/۲۴۷  | ۲۷/۳۵۵  | ۲۷/۱۶۷  | ۲۸/۵۵۸  | ۲۷/۷۳۳  |
| TiO <sub>2</sub>               | ۰/۲۵    | ۰/۰۸    | ۰/۲۱۸   | ۰/۰۰    | ۰/۰۰    | ۰/۰۰    | ۰/۰۵۴   | ۰/۳۶۸   |
| Al <sub>2</sub> O <sub>3</sub> | ۵۶/۰۰   | ۵۶/۲۲   | ۵۶/۲۳۱  | ۵۶/۴۴۳  | ۵۶/۷۱۹  | ۵۶/۸۱۴  | ۵۶/۸۱۹  | ۵۶/۳۰۱  |
| FeO                            | ۱۲/۱۹   | ۱۲/۶۱۴  | ۱۲/۴۵۵  | ۱۲/۴۲۵  | ۱۲/۵۹   | ۱۲/۵۰۲  | ۱۱/۸۷۶  | ۱۲/۰۳۸  |
| ZnO                            | ۱/۰۳    | ۰/۹۸۵   | ۱/۰۳۷   | ۱/۰۶۲   | ۰/۱۹۷   | ۰/۹۲۸   | ۰/۹۰۲   | ۰/۸۳۶   |
| MnO                            | ۰/۱۴    | ۰/۱۳۸   | ۰/۱۲۶   | ۰/۱۵۲   | ۰/۱۸۴   | ۰/۱۰۶   | ۰/۱۴۵   | ۰/۱۵۹   |
| MgO                            | ۰/۶۶    | ۰/۶۵۳   | ۰/۶۳۹   | ۰/۷۵۴   | ۰/۸۱۴   | ۰/۷۷۱   | ۰/۶۷۵   | ۰/۷     |
| CaO                            | ۰/۰۱    | ۰/۰۰    | ۰/۰۰۴   | ۰/۰۰۱   | ۰/۰۰    | ۰/۰۰    | ۰/۰۱۱   | ۰/۰۱۸   |
| مجموع                          | ۹۷/۹۷   | ۹۸/۱۰۱  | ۹۸/۳۸۷  | ۹۸/۰۹۴  | ۹۸/۴۵۹  | ۹۸/۱۵۸  | ۹۹/۱۱۱  | ۹۸/۱۵۳  |
| Si                             | ۷/۶۴    | ۷/۴۶    | ۷/۶۱    | ۷/۵۲    | ۷/۵۱    | ۷/۴۹    | ۷/۷۵    | ۷/۶۲    |
| Al <sup>(IV)</sup>             | ۰/۳۶    | ۰/۵۴    | ۰/۳۹    | ۰/۴۸    | ۰/۴۹    | ۰/۵۱    | ۰/۲۵    | ۰/۳۸    |
| Al <sup>(VI)</sup>             | ۱۷/۸۳   | ۱۷/۷۶   | ۱۷/۸۲   | ۱۷/۸۷   | ۱۷/۸۸   | ۱۷/۹۰   | ۱۷/۹۵   | ۱۷/۸۵   |
| Ti                             | ۰/۰۵    | ۰/۱۱    | ۰/۰۵    | ۰/۰۰    | ۰/۰۰    | ۰/۰۰    | ۰/۰۱    | ۰/۰۸    |
| Mg                             | ۰/۲۷    | ۰/۲۷    | ۰/۲۶    | ۰/۳۱    | ۰/۳۳    | ۰/۳۲    | ۰/۲۷    | ۰/۲۹    |
| Fe <sup>2+</sup>               | ۲/۸۱    | ۲/۹۱    | ۲/۸۶    | ۲/۸۷    | ۲/۸۹    | ۲/۸۸    | ۲/۷۰    | ۲/۷۷    |
| Mn                             | ۰/۰۳    | ۰/۰۳    | ۰/۰۳    | ۰/۰۴    | ۰/۰۴    | ۰/۰۲    | ۰/۰۳    | ۰/۰۴    |
| Zn                             | ۰/۲۱    | ۰/۲۰    | ۰/۲۱    | ۰/۲۲    | ۰/۱۶    | ۰/۱۹    | ۰/۱۸    | ۰/۱۷    |
| Ca                             | ۰/۰۰    | ۰/۰۰    | ۰/۰۰    | ۰/۰۰    | ۰/۰۰    | ۰/۰۰    | ۰/۰۰    | ۰/۰۱    |
| XFe                            | ۰/۸۹    | ۰/۹۰    | ۰/۹۰    | ۰/۸۸    | ۰/۸۷    | ۰/۸۸    | ۰/۸۹    | ۰/۸۹    |
| XMg                            | ۰/۱۱    | ۰/۱۰    | ۰/۱۰    | ۰/۱۲    | ۰/۱۳    | ۰/۱۲    | ۰/۱۱    | ۰/۱۱    |
| Fe*100/(Fe+Mg+Mn)              | ۹۰/۲۷   | ۹۰/۶۳   | ۹۰/۷۷   | ۸۹/۲۵   | ۸۸/۴۹   | ۸۹/۴۱   | ۸۹/۷۹   | ۸۹/۵۲   |
| Ferroan/Zincian                | Ferroan |

کوارتز [۳۸] با استفاده از برنامه GTB [۱۶] محاسبه گردید و سپس از روش مقدار تیتان در مسکوویت [۴۰، ۳۹] مقدار دما - ارزیابی شد. مقدار فشار و دما به ترتیب در گستره ۴۴ kbar - ۴۳ و ۵۵۸-۵۵۰ °C بدست آمد و تعادلات فازی برای نمونه‌ی متاپلیتی با ترمومولکالک [۱۴] بررسی شد (جدول ۶). شرایط دما - فشار متوسط برای ترکیب‌های مرکز کانی‌های متاپلیتی در نمونه MG<sub>39</sub> با این فرض که پلازیوکلاز حدوداً میانگین دما - فشار متوسط و بیوتیت MG<sub>31B</sub> با این فرض که پلازیوکلاز حدوداً میانگین دما - فشار متوسط و بیوتیت باشند ۶۰۱ °C و ۴۲ kbar بدست آمد (جدول ۷).

#### مدل‌سازی ترمودینامیکی

بر پایه ترکیب شیمیایی سنگ کل دو نمونه MG<sub>39</sub> و MG<sub>31B</sub> (جدول ۸) و کانی‌های موجود در این نمونه سنگ‌ها، تعادلات MnNCKFMASH (MnO-Na<sub>2</sub>O-CaO-K<sub>2</sub>O-FeO-MgO-Al<sub>2</sub>O<sub>3</sub>-SiO<sub>2</sub>-H<sub>2</sub>O) بررسی شد. نمودارهای فشار-دما (P-T) شبیه مقاطع (یا نمودارهای مجموعه کانی، MADS) برای این متاپلیت‌ها با استفاده از برنامه فورترن Gibbs [۱۵] رسم شد. در این برنامه از بانک‌های اطلاعاتی HP98 [۳۶] و SPaC 2014 [۴۱] استفاده گردید.

#### میکائی سفید

نتایج تجزیه نقطه‌ای ترکیب شیمیایی میکائی سفید در جدول ۵ آمده است. فرمول ساختاری میکا بر پایه ۱۱ اکسیژن محاسبه شد. مجموع کل اکسیدها بین ۹۴,۶۵ و ۹۸,۰۵ درصد است. Fe<sup>2+</sup> بین ۰,۰۱۶ و ۰,۰۶۱ و Fe<sup>3+</sup> بین ۰,۰۰ و ۰,۰۳۸ و Na بین ۰,۰۲۶ و ۰,۰۳۸ درصد تغییر می‌کند. Mg بین ۰,۰۲۶ و ۰,۰۳۸ درصد در تغییر است که نشان دهنده جایگزینی قابل ملاحظه عضو پایانی پاراگونیت است، بنابراین جانشینی KNa<sub>1</sub>A در جایگاه A فرمول ساختاری آن رخ می‌دهد [۲۸]. سازندوهای سلادونیت و فروسلادونیت در آن ناچیز است. مقدار فعالیت اعضای پایانی میکائی سفید که براساس مرجع [۳۶] محاسبه شده‌اند در جدول ۵ آمده‌اند.

#### برآورد شرایط P-T دگرگونی زمین دما-فشارسنگی

شرایط فشار-دمای دگرگونی بوسیله زمین دما-فشارسنگ های مرسوم محاسبه شده‌اند. در اینجا از آنجا که داده‌های مربوط به بیوتیت جایگزینی آن را با کلریت تأیید می‌کند نمی‌توان از روش بیوتیت-گارنت [۳۷] استفاده کرد. بنابراین نخست مقدار فشار از روش گارنت-مسکوویت-سیلیمانیت-

جدول ۵ نتایج تجزیه نقطه‌ای میکائی سفید و محاسبه فرمول ساختاری آن.

| شماره نمونه                    | ۱     | ۲      | ۳     | ۴     | ۵     | ۶     | ۷      | ۸     | ۹     | ۱۰    | ۱۱    | ۱۲    |
|--------------------------------|-------|--------|-------|-------|-------|-------|--------|-------|-------|-------|-------|-------|
| SiO <sub>2</sub>               | ۴۷,۱۶ | ۴۶,۷   | ۴۶,۰۰ | ۴۶,۴۸ | ۴۶,۷۵ | ۴۶,۹۲ | ۴۶,۹۱  | ۴۸,۳۳ | ۴۸,۴۷ | ۴۷,۸۹ | ۴۸,۵۸ | ۴۷,۸۴ |
| TiO <sub>2</sub>               | ۰,۵۳  | ۰,۵۶   | ۰,۳۸  | ۰,۴۹  | ۰,۳۴  | ۰,۳۲  | ۰,۳۴   | ۰,۲۲  | ۰,۲۶  | ۰,۲۳  | ۰,۱۶  | ۰,۲۲  |
| Al <sub>2</sub> O <sub>3</sub> | ۳۷,۰۴ | ۳۷,۰۲  | ۳۷,۱۴ | ۳۷,۰۳ | ۳۷,۳  | ۳۷,۱۹ | ۳۷,۰۲  | ۳۸,۴۱ | ۳۸,۵  | ۳۸,۲۹ | ۳۸,۲۲ | ۳۷,۹۱ |
| Fe <sub>2</sub> O <sub>3</sub> | ۰,۷۶  | ۰,۰۰   | ۰,۰۰  | ۰,۰۰  | ۰,۰۰  | ۰,۰۰  | ۰,۰۰   | ۰,۰۰  | ۰,۰۰  | ۰,۰۰  | ۰,۰۰  | ۰,۰۰  |
| FeO                            | ۰,۲۹  | ۱,۰۳   | ۱,۰۱  | ۰,۹۸  | ۰,۸۹  | ۱,۰۳  | ۱,۱۱   | ۰,۷۲  | ۰,۶۳  | ۰,۶۹  | ۰,۶۷  | ۰,۶۴  |
| MnO                            | ۰,۰۰  | ۰,۰۰   | ۰,۰۰  | ۰,۰۰  | ۰,۰۲  | ۰,۰۱  | ۰,۰۲   | ۰,۰۲  | ۰,۰۲  | ۰,۰۰  | ۰,۰۰  | ۰,۰۱  |
| MgO                            | ۰,۳۴  | ۰,۳۱   | ۰,۳۲  | ۰,۲۸  | ۰,۲۷  | ۰,۳۳  | ۰,۳۹   | ۰,۳۶  | ۰,۲۹  | ۰,۳۵  | ۰,۳۸  | ۰,۳۴  |
| CaO                            | ۰,۰۵  | ۰,۰۱   | ۰,۰۱  | ۰,۰۰  | ۰,۰۰  | ۰,۰۰  | ۰,۰۴   | ۰,۰۳  | ۰,۰۰  | ۰,۰۲  | ۰,۰۲  | ۰,۰۰  |
| Na <sub>2</sub> O              | ۰,۵۹  | ۱,۱۱   | ۰,۹۹  | ۰,۹۷  | ۱,۰۷  | ۰,۹۶  | ۰,۹    | ۱,۲۹  | ۱,۴۹  | ۱,۴۲  | ۱,۲   | ۱,۴۳  |
| K <sub>2</sub> O               | ۷,۸۹  | ۹,۴    | ۹,۴۱  | ۹,۴۱  | ۹,۲۷  | ۹,۱۶  | ۹,۴۹   | ۸,۵۷  | ۸,۳۸  | ۸,۱   | ۸,۴۸  | ۸,۶۴  |
| مجموع                          | ۹۴,۶۵ | ۹۵,۵۲  | ۹۵,۲۵ | ۹۵,۶۴ | ۹۵,۹۱ | ۹۵,۹۲ | ۹۶,۲۲  | ۹۷,۹۴ | ۹۸,۰۵ | ۹۶,۹۸ | ۹۷,۷۱ | ۹۷,۰۲ |
| Si                             | ۳,۰۹  | ۲,۰۳۷  | ۳,۰۳۹ | ۲,۰۵۵ | ۳,۰۵۹ | ۳,۰۶۸ | ۳,۰۶۶  | ۳,۷۶  | ۳,۰۷۸ | ۳,۰۷۲ | ۳,۰۹۴ | ۳,۰۷۸ |
| Ti                             | ۰,۰۲۶ | ۰,۰۲۸  | ۰,۰۱۹ | ۰,۰۲۴ | ۰,۰۱۷ | ۰,۰۱۶ | ۰,۰۱۷  | ۰,۰۱۱ | ۰,۰۱۳ | ۰,۰۱۱ | ۰,۰۰۸ | ۰,۰۱  |
| Al                             | ۲,۸۶۱ | ۲,۸۷۷  | ۲,۸۹۲ | ۲,۸۷  | ۲,۸۷۸ | ۲,۸۶۷ | ۲,۸۵۳  | ۲,۸۸۲ | ۲,۸۸۳ | ۲,۸۹۶ | ۲,۸۷  | ۲,۸۷۵ |
| Fe <sup>+3</sup>               | ۰,۰۳۸ | ۰,۰۰   | ۰,۰۰  | ۰,۰۰  | ۰,۰۰  | ۰,۰۰  | ۰,۰۰   | ۰,۰۰  | ۰,۰۰  | ۰,۰۰  | ۰,۰۰  | ۰,۰۰  |
| Fe <sup>+2</sup>               | ۰,۰۱۶ | ۰,۰۵۷  | ۰,۰۵۶ | ۰,۰۵۴ | ۰,۰۴۸ | ۰,۰۵۷ | ۰,۰۶۱  | ۰,۰۳۸ | ۰,۰۳۳ | ۰,۰۳۷ | ۰,۰۳۶ | ۰,۰۳۴ |
| Mn                             | ۰,۰۰  | ۰,۰۰   | ۰,۰۰  | ۰,۰۰  | ۰,۰۰۱ | ۰,۰۰۱ | ۰,۰۰۱  | ۰,۰۰۱ | ۰,۰۰۱ | ۰,۰۰  | ۰,۰۰  | ۰,۰۰  |
| Mg                             | ۰,۰۲۳ | ۰,۰۳۱  | ۰,۰۳۱ | ۰,۰۲۷ | ۰,۰۲۶ | ۰,۰۳۲ | ۰,۰۳۸  | ۰,۰۳۴ | ۰,۰۲۸ | ۰,۰۳۴ | ۰,۰۳۶ | ۰,۰۳۲ |
| Ca                             | ۰,۰۰۳ | ۰,۰۰   | ۰,۰۰  | ۰,۰۰  | ۰,۰۰  | ۰,۰۰  | ۰,۰۰۳  | ۰,۰۰۲ | ۰,۰۰  | ۰,۰۰۱ | ۰,۰۰۱ | ۰,۰۰  |
| Na                             | ۰,۰۷۵ | ۰,۱۴۲  | ۰,۱۲۷ | ۰,۱۲۳ | ۰,۱۳۶ | ۰,۱۲۲ | ۰,۱۱۵  | ۰,۱۵۹ | ۰,۱۸۳ | ۰,۱۷۶ | ۰,۱۴۸ | ۰,۱۷۹ |
| K                              | ۰,۶۶  | ۰,۷۹۱  | ۰,۷۹۳ | ۰,۷۸۹ | ۰,۷۷۴ | ۰,۷۶۴ | ۰,۷۹۲  | ۰,۶۹۶ | ۰,۶۷۹ | ۰,۶۶۳ | ۰,۶۸۹ | ۰,۷۰۹ |
| مجموع کاتیون‌ها                | ۶,۸۰۲ | ۶,۹۶۳  | ۶,۹۵۷ | ۶,۹۴۳ | ۶,۹۴۱ | ۶,۹۲۶ | ۶,۹۴۵  | ۶,۹۰۰ | ۶,۸۹۹ | ۶,۸۸۹ | ۶,۸۸۲ | ۶,۹۱۸ |
| Ms                             | ۰,۸۶  | ۰,۷۴   | ۰,۷۶  | ۰,۷۵  | ۰,۷۶  | ۰,۷۵  | ۰,۷۵   | ۰,۷۶  | ۰,۷۵  | ۰,۷۷  | ۰,۷۶  | ۰,۷۴  |
| Pa                             | ۰,۱۲۱ | ۰,۴۲   | ۰,۳۶  | ۰,۳۷  | ۰,۴   | ۰,۳۳  | ۰,۳۵   | ۰,۳۷  | ۰,۴۳  | ۰,۳۶  | ۰,۳۵  | ۰,۴۶  |
| cel                            | --    | ۰,۰۰۴۵ | --    | --    | --    | --    | ۰,۰۰۴۸ | --    | --    | --    | --    | --    |
| fcel                           | --    | ۰,۰۰۸۳ | --    | --    | --    | --    | ۰,۰۰۷۷ | --    | --    | --    | --    | --    |

جدول ۶ مجموعه واکنش‌های مستقل استفاده شده در برآورد شرایط متوسط دما - فشار برای بیشترین دگرگونی در متاپلیت MG31B با استفاده از برنامه ترمومکالک (نمادهای استفاده شده، از برنامه ترمومکالک است).

- |   |
|---|
| 1) gr + 2sill + q = 3an                                 |
| 2) 23gr + 6mst + 48q = 8py + 69an + 12H <sub>2</sub> O  |
| 3) 23gr + 6fst + 48q = 8alm + 69an + 12H <sub>2</sub> O |
| 4) phl + 2sill + q = py + mu                            |
| 5) ann + 2sill + q = alm + mu                           |

جدول ۷ نتایج محاسبات تعادلات فازی با ترمومکالک.

| نمونه             | T (°C) | P (kbar) | SD (T) | SD (P) | Correl. | Fit  |
|-------------------|--------|----------|--------|--------|---------|------|
| MG <sub>31B</sub> | ۶۰۱    | ۴,۲      | ۴۸     | ۲,۰    | ۰,۸۹۳   | ۲,۰۶ |

جدول ۸ نتایج تجزیه سنگ کل دو نمونه از متاپلیت‌ها.

| نمونه             | SiO <sub>2</sub> | Al <sub>2</sub> O <sub>3</sub> | Fe <sub>2</sub> O <sub>3</sub> | MgO  | CaO  | Na <sub>2</sub> O | K <sub>2</sub> O | TiO <sub>2</sub> | P <sub>2</sub> O <sub>5</sub> | MnO  | Cr <sub>2</sub> O <sub>3</sub> | L.O.I (٪) | مواد فرار (٪) | مجموع |
|-------------------|------------------|--------------------------------|--------------------------------|------|------|-------------------|------------------|------------------|-------------------------------|------|--------------------------------|-----------|---------------|-------|
| MG <sub>31B</sub> | ۴۱,۸۲            | ۲۶,۳۱                          | ۹,۷۵                           | ۱,۷۹ | ۰,۶۵ | ۰,۴۸              | ۲,۷۲             | ۱,۷۱             | ۰,۲                           | ۰,۱۱ | ۰,۰۲۹                          | ۴,۱       | ۹۹,۶۷         |       |
| MG <sub>39</sub>  | ۵۴,۹۶            | ۲۲,۵۹                          | ۹,۱۳                           | ۲,۲۸ | ۱,۱۴ | ۲,۵۴              | ۲,۶۱             | ۰,۹۹             | ۰,۱۲                          | ۰,۱۳ | ۰,۰۲۱                          | ۳,۲       | ۹۹,۷۱         |       |

نمودار P-T شبیه مقاطع برای هر دو نمونه سنگ کل در گستره ۳۰۰-۷۰۰ °C و دمای ۶,۵ kbar در سامانه مدل MnNCKFMASH (شکل ۷) رسم شد. ترکیب سنگ کل نمونه MG31B از متاپلیت‌های پهنه سیلیمانیت و نمونه MG39 از پهنه گارنت توسط تجزیه سنگ کل ICP-AES تعیین شد. در این ترکیب‌ها، همه FeO بصورت فرض شد. شبیه مقاطع رسم شده برای هر دو نمونه با ترکیب‌های همنما-های X<sub>Alm</sub>, X<sub>Sps</sub> و X<sub>Grs</sub> [۴۲] گارنت تراز شدند (شکل ۷).

شرايط P-T برآمده از مرکز گارنت در نمونه MG<sub>31B</sub> فشار ۶,۹ kbar و دمای ۶۰,۸ °C و برای لبه آن مقادیر ۴,۶ و ۶۰,۶ °C را نشان می‌دهد در حالی که شرايط P-T برای مرکز گارنت Grt<sub>1</sub> در نمونه MG<sub>39</sub> مقدار فشار ۵,۴ kbar و دمای ۵۹,۶ °C است که به نظر بیشینه فشار دگرگونی را نشان می‌دهد و برای لبه Grt<sub>1</sub> این نمونه، فشار ۳,۸ kbar و دما ۵,۹ °C بدست آمد. این شرايط دمایی چنان که پیشتر بر پایه نسبت Fe/(Fe+Mg) برای تغیيرات دمای بین مرکز و لبه پيش‌بيين شده بود، برای هر دو نمونه نزديك به هم است. اما ترکیب‌های همنماهای گارنت Grt<sub>2</sub> بر اين شبیه مقاطع همديگر را قطع نمی‌کنند. اين ناشی از عدم تعادل ترکیب‌های گارنت Grt<sub>2</sub> است، زيرا شبیه مقاطع نمودارهای تعادلی به حساب می-آيند [۴۲]. چنان که در شکل ۷ دیده می‌شود، تغیيرات ترکیب شیمیابی از مرکز به سوی لبه‌های گارنت، مرحله کاهش فشار را نشان می‌دهند. مولفه X<sub>Grs</sub> گارنت

زمین دماسنجی کلریتها بر پایه کارهای تجربی تغییرات ترکیبی بدون تناسب عنصری کلریتها، اطلاعات مفیدی را درباره شرایط فیزیکوشیمیابی بویژه برای تعیین دما فراهم می‌سازد [۴۳]. دو نوع زمین دماسنجی کلریت وجود دارد: واسنجی تجربی (مثل زمین دماسنج های کلریت بر پایه تهی جای آلومینیم چهاروجه‌ای/ یا تهی جای هشت‌وجهی) و واسنجی نیمه-تجربی و برپایه محاسبات ترمودینامیکی (مانند زمین دماسنج های کلریت برپایه فعالیت اعضای پایانی).

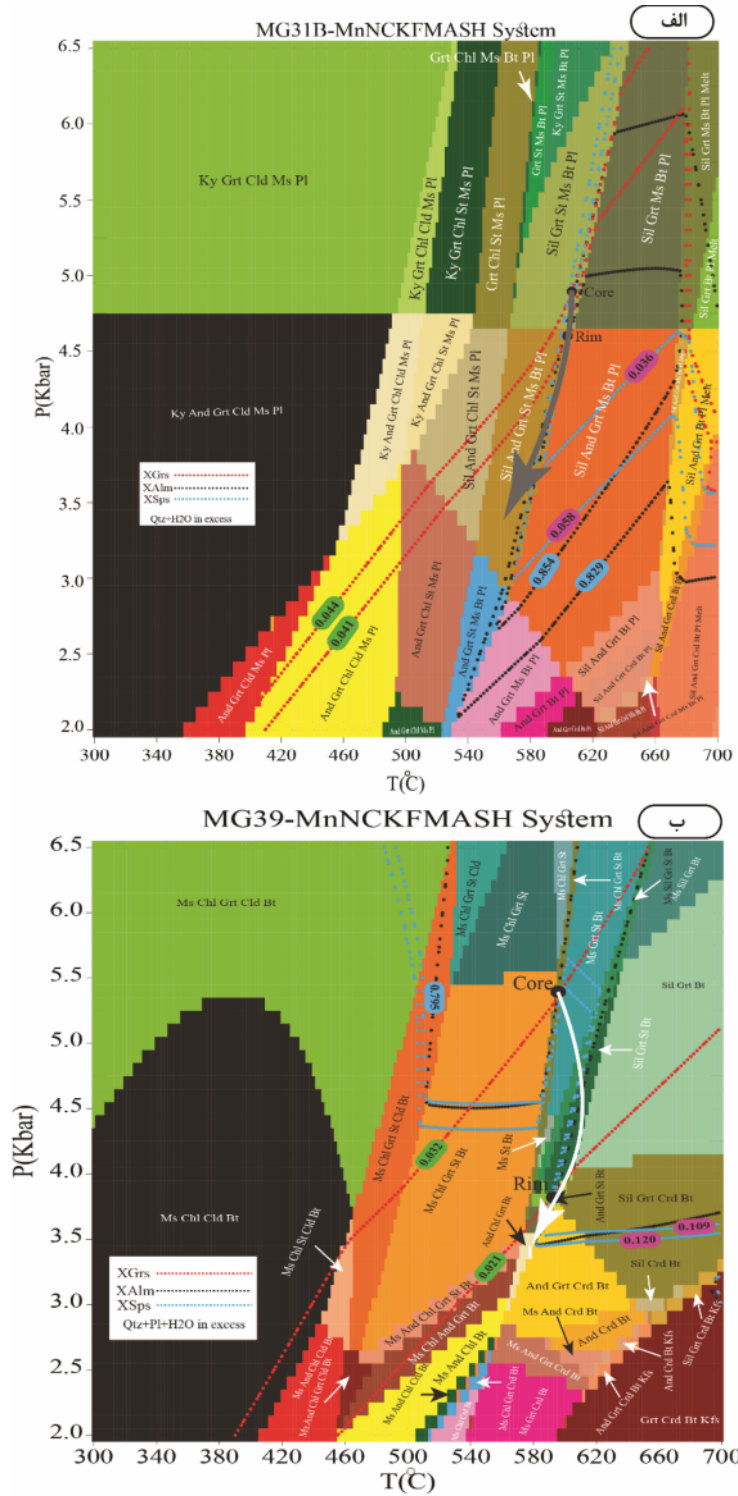
برای محاسبه دمای بیوتیت‌های کلریتی شده در مجموعه دگرگونی گیسور از توابع ارائه شده در مراجع [۴۴, ۴۵] که در محیط‌های گوناگون کاربرد دارند، استفاده شد (جدول ۳).

دما پایین قرار گرفته‌اند و شکل ۸ ب دمای پایین‌تر از  $25^{\circ}\text{C}$  را نشان می‌دهد.

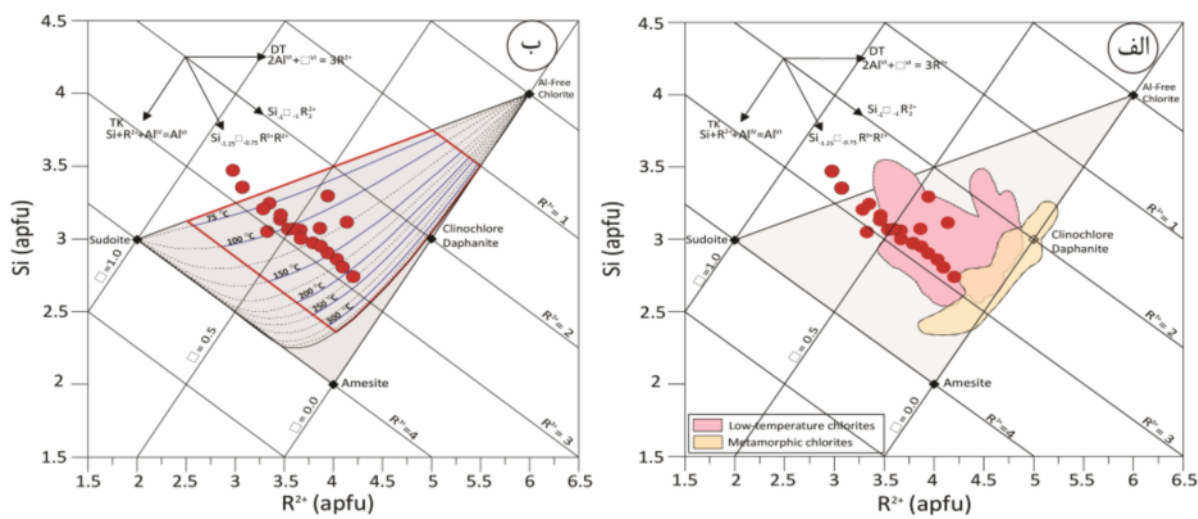
دماهی تشکیل این کلریت‌ها بر پایه تابع مرجع [۴۴]،  $0^{\circ}\text{C}$  و  $-332^{\circ}\text{C}$  باز تابع مرجع [۴۵]،  $0^{\circ}\text{C}$  و  $165^{\circ}\text{C}$  محاسبه شد.

از طرفی، نمونه‌های بیوپتیت کلریتی شده بر نمودار  $R^{2+}$ -Si

قرار دارند [۴۶]. نمونه‌ها در شکل ۸ الف در گستره کلریت‌های



شکل ۷ نمودارهای فشار-دما شبیه مقاطع برای دو نمونه متاپلیتی (الف) MG<sub>31B</sub> و (ب) MG<sub>39</sub>.

شکل ۸ الف و ب) نمونه‌های بیوپتیت کلریتی شده بر نمودار  $R^{2+}$ -Si [۴۶]

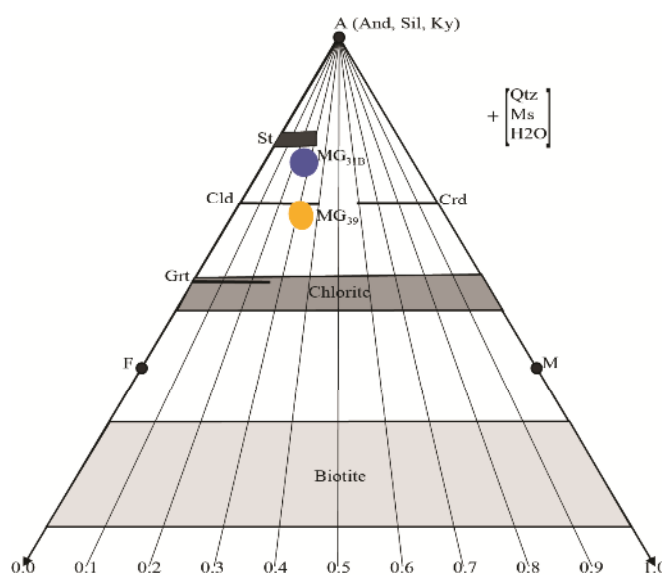
بحث ۹ نمودار AFM سامانه KFMASH برای ترکیب سنگ كل دو نمونه  $MG_{31B}$  و  $MG_{39}$  را نشان می‌دهد که آنها بالای خط گارنت - کلریت و نزدیک به قطب A قرار دارند و بنابراین هر دو غنی از آلومینیوم هستند آنها همچنین به قطب آهن نزدیک هستند [۴۷]، بنابراین پیش‌بینی می‌شود که سنگ‌های دگرگونی گیسور در بردارنده کانی‌های آلومینیوم‌دار و غنی از آهن مانند آندالوزیت، سیلیمانیت، استارولیت، گارنت و کلریتوئید ولی بدون کانی‌های منیزیم‌دار مانند کردیریت باشد. نسبت مولی  $MgO/(FeO+MgO)$  ترکیب سنگ كل برای هر دو نمونه، کمتر از ۰/۴ است (شکل ۹).

فشار محاسبه شده بر پایه روش‌های فشارسنگی بیان شده بیش از ۴ kbar است. بسیاری از سنگ‌شناسان نقطه سه‌گانه آلومینوسیلیکات‌ها را  $550^{\circ}C$  در  $4/5kbar$  در نظر می‌گیرند [۴۸، ۴۹]، بنابراین می‌توان گفت که فشارهای زیر  $4/5$  kbar در گستره دگرگونی مجاورتی قرار دارند. مقایسه خط گارنت در نمودارهای شکل ۱۰ نشان می‌دهد که دلیل افزایش فشار در مدل‌سازهای ترمودینامیکی با استفاده از شبه مقاطع در ارتباط با ترکیب سنگ كل و به احتمال بسیار داده‌های ترمودینامیکی است [۵۰]. در این نمودارها، فشار برای خط گارنت در سامانه  $MnNCKFMASH$  نسبت به سامانه  $KFMASH$  که برای دو نمونه  $MG_{31B}$  و  $MG_{39}$  محاسبه شده است، بالاتر است. این نمودارها با استفاده از بانک اطلاعاتی  $tcdb55$  و توسعه نرم افزار

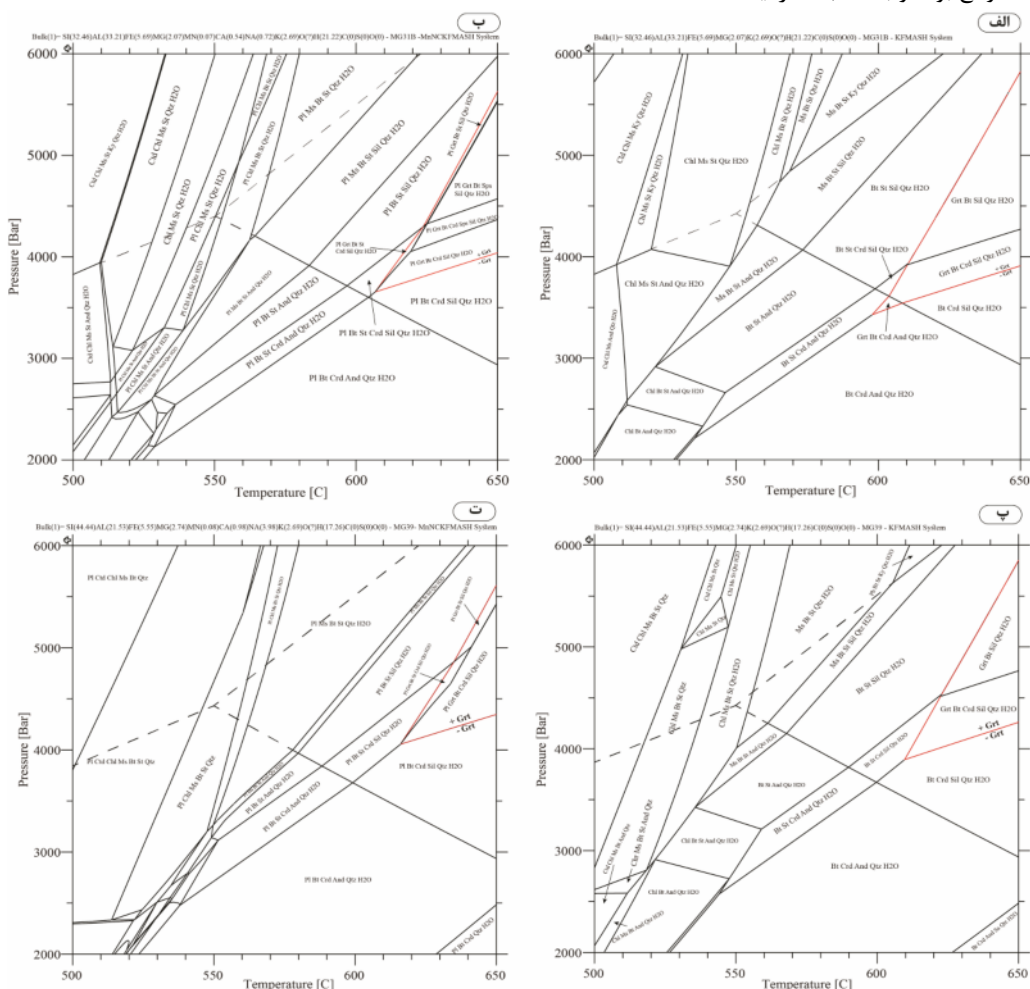
theriak-Domino

۷ و ۱۰ تفاوت داده‌های ترمودینامیکی مختلف مربوط به بانک-های اطلاعاتی متفاوت را نمایش می‌دهند. این مقایسه نشان دهنده وجود مجموعه‌های متفاوتی از کانی‌ها در آن‌ها و نیز گستره‌های پایداری متفاوت آنهاست. از سویی، گارنت‌های تشکیل شده در شرایط دگرگونی کوه‌زایی و برخوردی بوسیله افزایش همزمان و با قاعده غلظت گروسولار و پیروپ در مرز بین نسل‌های مختلف گارنت، شاهدی برای رشد همزمان آن‌ها طی افزایش دما و فشار است [۵۰]. بررسی نیمرخ گارنت (مانند نمونه  $MG_{39}$  در شکل ۵) نشان می‌دهد که گروسولار در لبه گارنت نوع ۱ کاهش یافته و پیروپ کمی افزایش می‌یابد. افزون بر این، براساس شواهد بافتی گارنت‌های منطقه مورد بررسی پسازمین ساخت هستند (شکل‌های ۳ الف و پ)؛ بنابراین گارنت در شرایط دگرگونی مجاورتی شکل گرفته است. گارنت در پهنه سیلیمانیت دارای لبه‌هایی با Ca پایین است (شکل ۵) که نشانگر رشد آن در این پهنه است [۵۱]. همچنین منطقه-بندی شیمیایی در گارنت ۱ از نمونه  $MG_{39}$  نشان دهنده پیشرفت دگرگونی طی نفوذ توده گرانودیوریتی است. این امر نشان می‌دهد که براساس شکل ۷، فشار دگرگونی نمی‌تواند بیش از فشار دگرگونی مجاورتی باشد (کمتر از  $4/5$  kbar). گارنت ممکن است با واکنش دو متغیره زیر در سامانه  $KFMASH$  به وجود آمده باشد:

$$Ms + Chl + Qtz = Grt + Bt + H_2O \quad (1)$$



شکل ۹ نمودار AFM در سامانه KFMASH برای ترکیب سنگ کل دو نمونه MG<sub>31B</sub> و MG<sub>39</sub>. که هر دو نمونه در بالای خط کلریت-گارنت و نزدیک به قطب A واقع بوده و به قطب F نزدیک هستند.



شکل ۱۰ نمودارهای P-T شبیه مقاطع برای نمونه‌های ترکیب سنگ کل MG<sub>39</sub> و MG<sub>31B</sub> به با نرم افزار Theria-Domino تهیه شده‌اند: (الف) و (ب) برای ترکیب سنگ کل MG<sub>31B</sub>, (پ) برای سامانه‌های KFMASH و MnNCKFMASH, (ت) برای ترکیب سنگ کل MG<sub>39</sub>, به ترتیب برای سامانه‌های KFMASH و MnNCKFMASH. برای هر دو نمونه، خط گارنت (خط قمز رنگ) تابعی از ترکیب سنگ کل است.

دگرگونی گیسور شده و توده نفوذی توانسته است، که جایگیری کند.

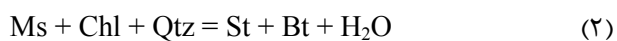
اما شواهدی چون کلریتی شدن بیوتیت، سریسیتی شدن آندالوزیت و کلریتی شدن گارنت در محل شکستگی‌ها همه بیانگر وجود یک دگرگونی پسروند و بالاًمدگی است. براساس شکل ۸، بیوتیت‌های کلریتی شده همراستا با خط  $R^{3+}$  و در گستره  $1/5 < R^{3+} < 3/5$  قرار دارند که دارای جانشینی‌های چرماتک هستند. بنابراین چنان که بوردل و همکارش [۴۶] اشاره کرده‌اند، آنها در فرآیند دگرگونی به وجود می‌آیند. حال آنکه کلریت‌های برآمده از محیط درونزایی از نوع پیروفیلیت و گیبسیت / کلریت بدون Al بوده و افزون بر جانشینی چرماتک، دارای تبادل دو-سه هشت وجهی هستند [۴۶]. البته براساس شکل ۸ ب قابل پیش‌بینی است که برخی از کلریت‌ها بالای خط سدوبیت - کلریت بدون Al قرار بگیرند که چنین کلریت-هایی ناشی از محیط‌های درونزایی و دگرسانی هستند [۴۶]. همچنین انباست بلورهای یک کانی که جانشین کانی اولیه شده و شکل کاذب آن را به خود گرفته باشند، به علت کاهش شرایط دما-فشار طی بالاًمدگی تفسیر می‌شود [۲۳]، بنابراین وجود چنین بافتی در بیوتیت‌های کلریتی شده نشانه‌ای از بالاًمدگی و یک دگرگونی پسروند است. نبود منطقه‌بندی مشخص در گارنت ۲ از این نمونه و عدم تعادل ترکیب شیمیابی آن بر نمودارهای P-T شبه مقاطع (شکل ۷) نشان از رشد آن‌ها طی دگرگونی پسروند است.

همچنین وجود ریزترک‌های شعاعی پیرامون میانبارهای کوارتز در گارنت (شکل ۳ خ) از سنگ‌هایی که دچار دگرگونی فشارهای بسیار بالا نشده‌اند، گزارش شده است [۵۴، ۵۳] که آن‌ها را ناشی از یک مؤلفه بزرگ کاهش فشار هم‌دما می‌دانند [۵۵]. این شکستگی‌ها تابعی از شکل و اندازه میانبارهای کوارتز هستند [۵۶].

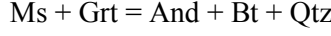
مسیر P-T در شکل ۷ نشان می‌دهد که سنگ‌ها در یک مسیر ساعت گرد بالاًمداند که در بردارنده کاهش فشار است و در ابتدای مسیر به طور هم‌دما دچار بالاًمدگی شده‌اند. این مسیر نیز با شواهدی بالا همخوانی خوبی دارد.

بر اساس شکل ۱، پهنه سیلیمانیت در ضلع جنوبی واقع است. چنان که پور محمد و همکاران [۲۱] اشاره کرده‌اند، برونیوم‌های ریزدانه‌ای مافیک توده گرانودیبوریتی بیشتر در بخش جنوبی آن گسترش دارند. بنابراین فراوانی برونیوم‌های نوع ریزدانه‌ای مافیک به احتمال بسیار در ارتباط با افزایش دما

اگر چه استارولیت یک کانی شاخص در سنگ‌های دگرگونی ناحیه‌ای است، اما گزارش‌های بسیاری از هاله‌های دگرگونی در نقاط مختلف جهان منتشر شده است [۵۲، ۵۱، ۴۰] شواهد بافتی استارولیت در شکل ۳ ح نشان می‌دهد که بلورهای آن به صورت متقطع و تصادفی قرار گرفته‌اند و در صحراء نیز گسترش چندانی ندارد (شکل ۱). بنابراین استارولیت در هاله دگرگونی ایجاد شده است و به علت نبود شواهدی برای مشارکت گارنت در تشکیل استارولیت، واکنش دو متغیره احتمالی زیر در سامانه KFMASH پیشنهاد می‌گردد:



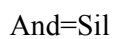
شواهد صحرایی و میکروسکوپی نشان می‌دهد که آندالوزیت نیز دارای ساخت و بافتی تصادفی و متقطع است و چنان که در بالا اشاره شده پسا زمین ساخت بوده و بنابراین در هاله دگرگونی مجاورتی به وجود آمده است. برای تشکیل آندالوزیت، به علت وجود مجموعه‌های And+Bt±Chl همچنین انباست بلورهای Grt+And+Bt و St+And+Bt±Chl زیر در سامانه KFMASH پیشنهاد می‌شود:



همچنین می‌توان واکنش تک متغیره زیر را در سامانه KFMASH برای مجموعه St+Grt+And+Bt در نظر داشت:



شواهد میکروسکوپی رشد سیلیمانیت را درون لبه آندالوزیت نشان می‌دهد، بنابراین افزوده شدن سیلیمانیت به مجموعه And + St + Bt + Grt نشان دهنده واکنش زیر است:



شیستوارگی  $S_1$  و حضور کانی کلریت‌وید شاخص دگرگونی ناحیه‌ای است [۲۴] که در اثر نفوذ توده گرانودیبوریتی گیسور که از نوع I دما پایین است [۲۱] دستخوش دگرگونی مجاورتی شده است. بنابراین با توجه به مطالب بالا از جمله شواهد دگرگونی مجاورتی، می‌توان به وجود بافت‌های تصادفی و متقطع آندالوزیت، استارولیت، مسکوویت، گارنت پسا زمین ساخت و رشد سیلیمانیت منشوری به درون لبه آندالوزیت اشاره کرد که نشانگر یک دگرگونی پیشروند و در اثر نفوذ توده آذرین بوده است.

شیستوارگی  $S_2$  و محور کشش بودین (شکل‌های ۲ و ۳) و آذرین لایه میکروگرانیتی (شکل ۱) پیشنهاد می‌کند که فشارهای زمین ساختی سبب بروز کشش در مجموعه سنگ‌های

- [3] Aghanabati S. A. *Geology of Iran*, Geological Survey of Iran, Tehran (in Persian) 2004.
- [4] Camp V., Griffis R., *Character, genesis and tectonic setting of igneous rocks in the sistan suture zone, eastern Iran*, Lithos, 15 (1982), 221-239.
- [5] Tirrul R., Bell I. R., Griffis R. J. Camp V. E., *The Sistan suture zone of eastern Iran* Geological Society of America Bulletin, 94 (1983), 134-156.
- [6] Jung D., Keller J., Khorasani R., Marcks C., Baumann A. Horn P., *Petrology of the Tertiary magmatic activity in the north Lut area, East of Iran*, Ministry of mines and metals. Geological Survey of Iran, Geodynamic Project (Geotraverse), 51(1983), 285-336.
- [7] Arjmandzadeh R., Karimpour M. H., Mazaheri S. A., Santos J. F., Medina J. M. Homam S. M., *Sr-Nd isotope geochemistry and petrogenesis of the Chah-Shaljami granitoids (Lut block, eastern Iran)*, Journal of Asian Earth Sciences, 41(2011), 283-296.
- [8] Nabavi M. H., *An introduction to the geology of Iran*, Geological Survey of Iran. (1976) 109 p.
- [9] Ghaemi F., *Geological Map 1: 100,000 Nodeh*, Geological Survey of Iran(in Persian) (2010).
- [10] Foley A., *Geological Map of 1: 250000 Gonabad*, Geological Survey of Iran (2004).
- [11] B.R.G.M., *Explanatory text of the Gonabad Quadrangle map 1:250000*, Geological Survey of Iran. (1992) p.166.
- [12] Karimpour M. H., Moradi M., *Petrology of Granodiorite and Monzonites of eastern Najmabad (Gonabad)*, 17th Iranian Society of Crystallography and Mineralogy, Bo Ali Sina University, Hamedan. (in persian) (2009)
- [13] Javadi S., *Petrological investigation of metamorphic rocks of Chah Yousef mountains area north of Geysour village*, Mashhad Ferdowsi University. Master thesis. (in persian) (2013).
- [14] Powell P., Holland T. J. B., *An internally consistent dataset with uncertainties and correlations: 3. Applications to geobarometry, worked examples and a computer program*, Journal of metamorphic Geology, 6(2)( 1988), 173-204.

در این قسمت بوده و بنابراین سیلیمانیت در اثر افزایش دمای ناشی از آن بوجود آمده است.

#### برداشت

مجموعه دگرگونی گیسور که در معرض نفوذ توده گرانودیوریتی است، دارای طیف سنگی گوناگونی از اسلیت و فیلیت تا انواع شیستها (کلریتویید شیست، گارنت شیست، بیوتیت-استارولیت-گارنت شیست، آندالوزیت شیست، سیلیمانیت-آندالوزیت شیست، آندالوزیت-گارنت شیست و آندالوزیت-سیلیمانیت-استارولیت-گارنت شیست) است. کانی-های اصلی موجود در این مجموعه دگرگونی شامل کلریتوئید، گارنت، استارولیت، آندالوزیت و سیلیمانیت مسیر دما - فشار ویژه‌ای را برای این مجموعه نشان می‌دهد. در این مسیر بر پایه وجود ساختارهای صحرایی و سنگ نگاری (چون شیستوارگی  $S_1$ )، کانی کلریتوئید دگرگونی ناحیه‌ای را نشان می‌دهد که بوسیله دگرگونی مجاورتی پیگیری می‌شود. از جمله شواهد این دگرگونی می‌توان به وجود بافت‌های تصادفی: آندالوزیت، استارولیت، مسکوویت؛ گارنت پسا زمین ساخت و رشد سیلیمانیت منشوری به درون لبه آندالوزیت اشاره کرد که نشان دهنده یک دگرگونی پیشرونده و در اثر نفوذ توده آذرین است. از طرفی، شواهدی چون کلریتی شدن بیوتیت، سریسیتی شدن آندالوزیت و کلریتی شدن گارنت در محل شکستگی‌ها و ایجاد ریزترک‌های شعاعی گارنت همه بیانگر وجود یک دگرگونی پسرونه و بالاًمدگی است که در راستای حرکت عقربه‌های ساعت رخ داده است.

#### قدرتانی

در اینجا لازم است از آقایان پروفسور اسپیر و پروفسور هولند برای راهنمایی‌های موثر علمی‌شان تشکر کنیم. از آقای مجید آروین نژاد برای همراهی در کارهای صحرایی قدردانی می‌شود. از معاونت پژوهشی و فناوری دانشگاه لرستان برای حمایت-هایشان سپاسگزاریم.

#### مراجع

- [1] Stocklin J., *Structural history and tectonics of Iran, A review*, Amer. Ass. Petrol. Geol. Bull., 52 (1968) 1229-1258.
- [2] Stocklin J., Nabavi M. H., *Tectonic map of Iran 1:2,500,000*, Geological Survey of Iran (1973).

- silicate garnets*,” Computers and Geosciences, 34 (2008), 1769-1780.
- [27] Kohn M. J., Spear F. S., Dalziel I. W. D., “*Metamorphic P-T Path from Cordillera Darwin, a core complex in Tierra del Fuego, Chile*,” Journal of Petrology, 34, part 3,( 1993) 519-542.
- [28] Spear F. S., “*Metamorphic phase equilibria and pressure-temperature-time paths*”, Mineralogical Society of America, Washington, D. C.,( 1995) 823 p.
- [29] Kohn M. J., Orange D. L., Spear F. S., Rumble D., III. Harrison T. M., *Pressure, temperature, and structureal evolution of west-central New Hampshire: Hot thrusts over cold basement*”, Journal of Petrology, 33(3)( 1992), 521-556.
- [30] Vance D., Holland T., *A detailed isotopic and petrological study of a single garnet from the Gassetts Schist, Vermont*”, Contributions to Mineralogy and Petrology, 114(1993), 101-118.
- [31] Zane A., Weiss Z., “*A procedure for classifying rock-forming chlorites based on microprobe data*”, Rend. Lincei Sci. Fis. Nat. Ser., 9,( 1998) 51-56.
- [32] Plissart G., Féménias O., Măruntiu M., Diot H., Demaiffe D., “*Mineralogy and geothermometry of gabbro-derived list venites in the Tisovita-Iutiophiolite south western Romania*”, Can. Mineral. 47(2009), 81-105.
- [33] Wiewióra A., Weiss Z., “*Crystallochemical classifications of phyllosilicates based on the unified system of projection of chemical composition: II. The chlorite group*”, Clay Minerals, 25( 1990), 83-92.
- [34] Bayliss P., *Nomenclature of the trioctahedral chlorites*”, Canadian Mineralogist, 13(1975), 178-180.
- [35] Juurinen A., *Composition and properties of staurolite*”, Ann. Acad. Sci. Fennicae, Ser. A, III (Geol. Geogr.), 47(1956), 1-53.
- [36] Holland T.J.B., Powell R., *An internally consistent thermodynamic data set for phases of petrological interest*”, J. Metamorph. Geol., 16(1998), 309-344.
- [15] Spear F. S., Menard T., *Program GIBBS: A generalized Gibbs method algorithm*”, American Mineralogist, 74 (1989), 942-943.
- [16] Spear F. S., Kohn M. J., “*Program Thermobarometry, version 2.1*”, GTB program manual,( 1999) 1-42.
- [17] Yavuz F., Kumral M., Karakaya N., Karakaya M. Ç., Yıldırım D. K., “*A Windows program for chlorite calculation and classification*”, Computers and Geosciences, 81(2015), 101-113.
- [18] De Capitani, C., Brown, T. H., *The computation of chemical equilibria in complex systems containing non-ideal solutions*”, Geochimica et Cosmochimica Acta, 51(1987), 2639-2652.
- [19] Kertz R., *Symbols for rock-forming minerals*”, American Mineralogist, 68 (1983), 277-279.
- [20] Whitney D.L., Evans B.W., *Abbreviations for names of rock-forming minerals*”, Am. Mineral. 95,( 2010) 185-187.
- [21] Pourmohammad A. S., Ahmadi Khalaji A., Homam M., Tahmasebi Z., Ebrahimi M., “*Geochemistry, petrogenesis and tectonic setting of Geysour granitoid, East Gonabad*”, Scientific Quarterly Journal, GEOSCIENCES, 29(2020), 137-150. (in Persian)
- [22] Homam S. M., Ghaemi F., *The mechanism of fibrolite formation in the contact aureole of Mashhad*”, Iranian Society of Crystallography and Mineralogy.Vol. 16, No. 1(2008).
- [23] Barker A. J., *Introduction to metamorphic textures and microstructures*”, Springer US.( 1998) 275.
- [24] Deer W. A., Howie R. A., Zussman J., “*Rock-forming minerals: Orthosilicates*”, Geological Society, Vol. 1A,( 1997) 917.
- [25] Moazzen M., “*Chlorite-Chloritoid-Garnet Equilibria and Geothermometry in the Sanandaj-Sirjan metamorphic belt, southern Iran*”, Iranian Journal of Science & Technology, Transaction A, 28, No. A1(2004).
- [26] Locock A. J., *An Excel spreadsheet to recast analyses of garnet into end-member components, and a synopsis of the crystal chemistry of natural*

- [47] Likhanov, I. I., Reverdatto A. V.V., Mineral assemblages of the  $\text{Al}_2\text{SiO}_5$  “triple point” in metapelites”, *Doklady Earth Sciences*, Vol. 448, No. 2, (2013)pp. 193–196.
- [48] Holdaway M. J., Mukhopadhyay B., A reevaluation of the stability relations of andalusite: Thermochemical data and phase diagram for the aluminum silicates”, *American Mineralogist* (1993) 78 (3-4): 298-315.
- [49] Bucher K., Grapes R., *Petrogenesis of Metamorphic Rocks*”, Springer, 2011.
- [50] Likhanov I. I., Reverdatto A. V.V., Kozlov P. S., Vershinin A. E., *The Teya Polymetamorphic Complex in the Transangarian Yenisei Ridge: An Example of Metamorphic Superimposed Zoning of Low\_ and Medium\_Pressure Facies Series*”, *Doklady Earth Sciences*, 2011, Vol. 436, No. 4, pp.509–514.
- [51] Pattison D.R.M., Tinkham D.K., *Interplay between equilibrium and kinetics in prograde metamorphism of pelites: an example from the Nelson aureole, British Columbia*”, *Journal metamorphic Geol.*, 2009 27 249-279.
- [52] Kennan P.S., "the Occurrence of cordierite and staurolite in a part of the Leinster granite aureole; a textural study", *Sci. Proc. Roy. Soc. Dublin, Ser. A*, 5 (1974), 131-136.
- [53] Wendt A.S., D'Arco P., Goffé B., Oberhänsli R., "Radial cracks around  $\alpha$ -quartz inclusions in almandine: constraints on the metamorphic history of the Oman Mountains”, *Earth and Planetary Science Letters*, 114(1993), 449-461.
- [54] Whitney D. L., *Garnets at open systems during regional metamorphism*”, *Geology*, 24(1991), 147-150.
- [55] Whitney D. L., *Calcium depletion halos and Fe-Mn-Mg zoning around faceted plagioclase inclusions in garnet from a high-grade pelitic gneiss*”, *Am. Mineral.*, 76(1996), 493-501.
- [56] Whitney D. L., Cooke M. L., Du Frane S. A., "Modeling of radial microcracks at corners of inclusions in garnet using fracture mechanics”, *Journal of Geophysical Research*, 105(2000), 2843-2853.
- [37] Ferry J. M., Spear F. S., *Experimental calibration of the partitioning of Fe and Mg between biotite and garnet*”, *Contributions to Mineralogy and Petrology*, 66(1978), 113-117.
- [38] Hodges K.V., Crowley P.D., "Error estimation and empirical geothermobarometry for politic systems”, *Am. Mineral.* 70 (1985), 702-709.
- [39] Foster G., Vance D., Argles T., Harris N., *The Tertiary collision-related thermal history of the NW Himalaya*”, *Journal of Metamorphic Geology*, 20(2002), 827-843.
- [40] Pattison D. R. M., Vogl J. J. "Contrasting sequences of metapelite mineral-assemblages in the aureole of the tilted Nelson Batholith, British Columbia: implications for phase equilibria and pressure determination in andalusite-silimanite-type settings”, *Canadian Mineralogist*, 43(2005), 51-88.
- [41] Spear, F. S., Pyle, J. M., *Theoretical modeling of monazite growth in a low-Ca metapelite*”, *Chemical Geology*, 273(2010), 111-119.
- [42] Wolfe, O. M. Spear, F. S., "Determining the amount of overstepping required to nucleate garnet during Barrovian regional metamorphism, Connecticut Valley synclinorium”, *Journal of Metamorphic Geology*, 36(2018), 79-94.
- [43] Inoue, A., Meunier, A., Patrier-Mas, P., Rigault, C., Beaufort, D., Viellard, P., "Application of chemical geothermometry to low-temperature trioctahedral chlorites”, *Clays and Clay Minerals*, 57(2009), 371-382.
- [44] Kranidiotis, P., and MacLean, W., "Systematic of chlorite alteration the Phelps Dodge massive sulfide deposit, Matagami, Quebec”, *Econ. Geol.* 82(1987), 1898-1911.
- [45] Cathelineau, M., *Cation site occupancy in chlorites and illites as function of temperature*”, *Clay Miner.*, 23(1988), 471-485.
- [46] Bourdelle, F. Cathelineau, M., *Low-temperature chlorite geothermometry: a graphical representation based on a  $T-R^{2+}-Si$  diagram*”, *Eur. J. Mineral.*, 27(2015), 617-626.